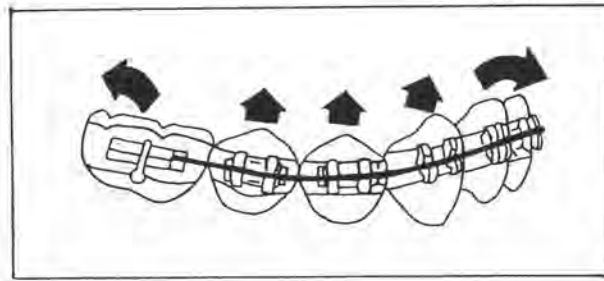


บทที่ ๒

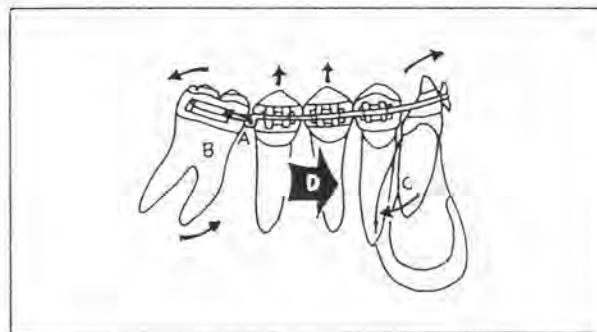
วรรณคดีที่เกี่ยวข้อง

หลักการพื้นฐานของการกดฟันหน้า (Basic Principle of Anterior Intrusion)

การศึกษาที่ผ่านมาแสดงให้เห็นว่าผลข้างเคียงจากการใช้ลวดโค้งต่อเนื่องเพื่อปรับระดับฟันและแก้ไขการหมุนของฟันทำให้เกิดการเคลื่อนตัวของฟันหน้าไปทางด้านริมฝีปาก (flare labially) พร้อมๆกับการงอขาของฟันกรามน้อยและการตั้งขึ้น (upright) ของฟันกรามซึ่ง เป็นผลที่ไม่พึงปรารถนา (Barton, 1972; Burstone, 1962, 1966, 1975, 1977; Greig, 1983; Ricketts และคณะ, 1979) โดยเฉพาะในรายที่มีเคิร์ฟ ออฟ สปี ชัน ในการแก้ไขลักษณะฟันสบลึกโดยการกดฟันหน้าก็เช่นเดียวกัน พบว่าลักษณะฟันสบลึกที่คุดขึ้นไม่ได้เกิดจากการกดฟันหน้าเพียงอย่างเดียว แต่เนื่องมาจากฟันหลังงอขาและมีการเอียงของตัวฟันหน้าไปทางด้านใกล้ริมฝีปาก เนื่องจากลวดที่ใช้ปรับระดับฟันในระยะแรกๆ ของการรักษาเป็นลวดกลม ทำให้ไม่สามารถควบคุมแนวแกนของฟันได้ (รูปที่ ๑) ต่อมาได้มีผู้พยายามนำวิธีการยึดลวดด้านหลัง (cinched back or tieback) ของลวดโค้งต่อเนื่องเพื่อไม่ให้ลวดขยับมาทางด้านหน้า ด้วยวิธีการนี้แม้ฟันหน้าจะไม่เคลื่อนไปทางด้านริมฝีปาก แต่เมื่อกดฟันไปได้ระยะหนึ่งรากฟันจะเคลื่อนไปติดกับผิวกระดูกที่ทางด้านใกล้ลิ้น (lingual cortical plate) ของกระดูกขากรรไกรล่างทำให้ไม่สามารถกดฟันหน้าได้ต่อไป ขณะเดียวกันฟันกรามจะล้มมาทางด้านหน้า เนื่องจากผิวกระดูกที่ช่วยเสริมหลักยึดให้กับฟันหน้า (รูปที่ ๒)



รูปที่ ๑ แสดงผลที่เกิดขึ้นจากการปรับระดับฟันด้วยลวดโค้งต่อเนื่อง
(Ricketts และคณะ, 1979)



รูปที่ ๒ แสดงผลข้างเคียงที่เกิดขึ้นจากการใช้ลวดโค้งต่อเนื่องร่วมกับการยึดลวดทางด้านหลังขณะกดฟันหน้า (Ricketts และคณะ, 1979)

หลักการกดฟันหน้าด้วยเช็กเมนเตด อินทรูซีฟ อาร์ช เทคนิก

ปี ค.ศ. 1950 Burstone ได้พัฒนาวิธีแก้ไขฟันสบลึกโดยนำหลักการของเช็กเมนเตด อาร์ชมาประยุกต์ กล่าวคือ จำแนกฟันในขากรรไกรเป็น ๒ หน่วย ได้แก่ หน่วยหลักยึด (anchorage unit) ประกอบด้วยฟันหลังทุกซี่ซึ่งใช้เป็นหลักยึด และหน่วยเคลื่อนที่ (active unit) ประกอบด้วยฟันทุกซี่ซึ่งต้องการให้เคลื่อนที่ ในการแก้ไขฟันสบลึก ฟันหน้าซึ่งเป็นหน่วยเคลื่อนที่จะถูกกดด้วยอินทรูซีฟ อาร์ช

ลักษณะของเครื่องมือที่ใช้ในอินทรูซีฟ อาร์ช เทคนิก (รูปที่ ๓)

๑. เครื่องมือที่ใช้ในหน่วยหลักยึด ประกอบด้วย

ก. ลวดยึดฟันหลัง (buccal stabilizing unit) ข้ายและขวา ใช้ลวด

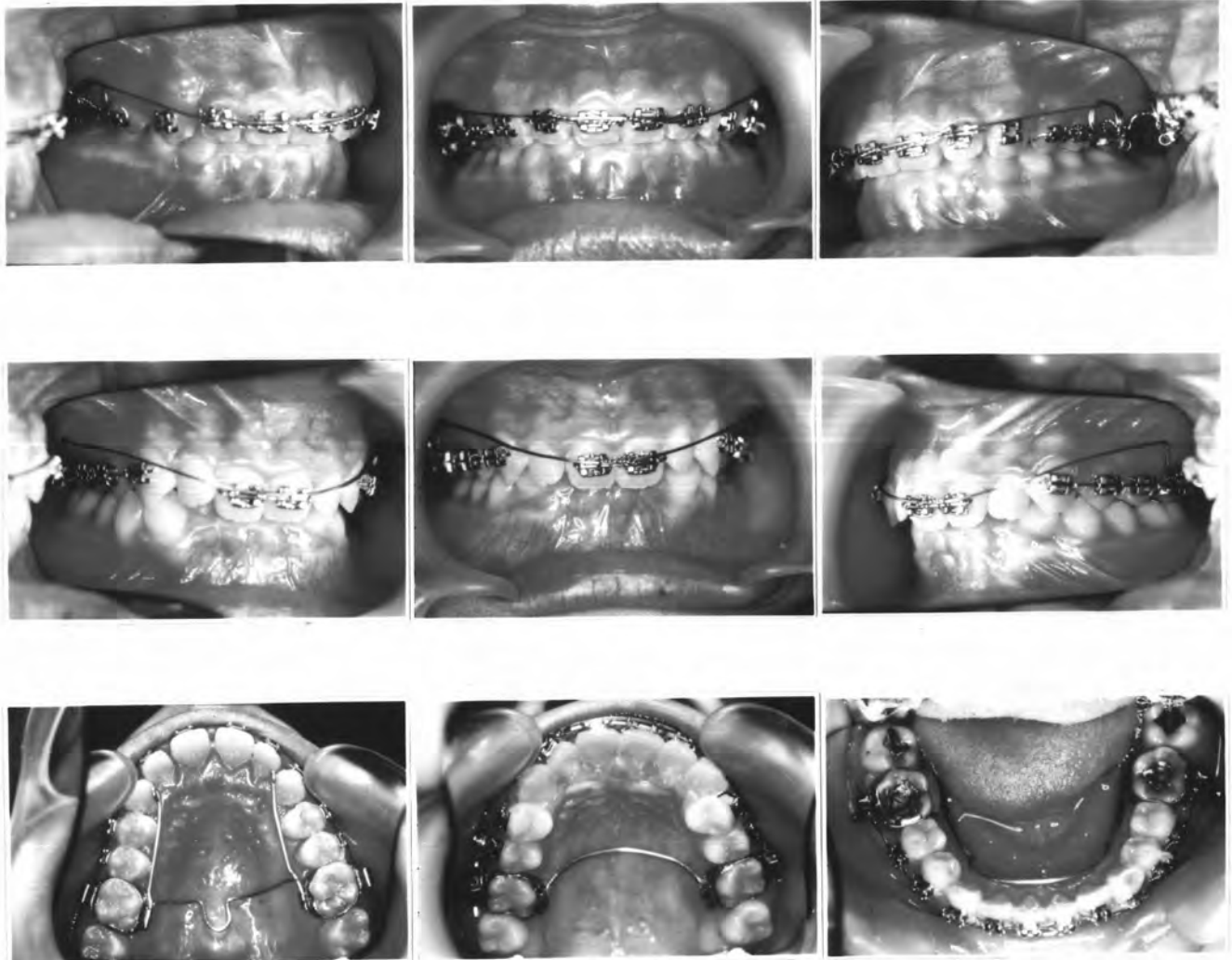
ขนาดใหญ่เพื่อยึดพื้นหลังแต่ละข้างไว้ด้วยกันโดยลวดเหล็กกล้าไร้สนิมขนาด $0.09๘" \times 0.0๒๔"$ หรือ $0.0๑๕" \times 0.0๒๔"$ หรือ $0.0๒๑" \times 0.0๒๔"$ หรือใช้ลวดที เอ็ม เอ (TMA) ขนาด $0.0๑๖" \times 0.0๒๐"$ หรือ $0.0๑๕" \times 0.0๒๔"$

ข. ทรานซ์ พาราทอลล์ อาร์ชในขากรรไกรบนหรือลิงกวล อาร์ชในขากรรไกรล่าง เพื่อเชื่อมพื้นหลังด้านซ้ายและขวาไว้ด้วยกันโดยใช้ลวดเหล็กกล้าไร้สนิมขนาด $0.0๓๖"$ หรือลวด ที เอ็ม เอ ขนาด $0.0๓๒" \times 0.0๓๒"$

๒. เครื่องมือที่ใช้ในหน่วยเคลื่อนที่ คือ

ก. ลวดยึดพื้นหน้า ใช้ลวดขนาดเดียวกับลวดยึดพื้นหลังซึ่งใช้ยึดพื้นหน้าทุกซี่ที่ต้องการกดไว้ด้วยกัน

ข. สปริงกดพื้นหน้า ทำจากลวดเหล็กกล้าไร้สนิมขนาด $0.0๑๘" \times 0.0๒๒"$ หรือ $0.0๑๘" \times 0.0๒๔"$ หรือลวดที เอ็ม เอ ขนาด $0.0๑๖" \times 0.0๒๒"$ หรือ $0.0๑๗" \times 0.0๒๔"$ บริเวณด้านหน้าต่อด้านใกล้กลางของหลอดโลหะเสริมซึ่งปลายลวดกดพื้นสอดอยู่ตัดเป็นอีลิคซ์ (helix) ขนาดเส้นผ่าศูนย์กลาง ๓ มิลลิเมตร จำนวนสองรอบครึ่ง จากอีลิคซ์ลวดจะโค้งไปตามความโค้งของขากรรไกร ตำแหน่งของลวดส่วนหน้าจะวางอยู่ที่ช่องปากส่วนนอกบริเวณพื้นหน้า เมื่อนำลวดมาผูกบริเวณจุดกึ่งกลางของลวดยึดพื้นหน้าจะเกิดแรงกดต่อพื้นหน้าทุกซี่ที่ลวดนั้นยึดอยู่ ขนาดของแรงกด (ตารางที่ ๑) วัดจากแรงที่ใช้ในการยกลวดมาที่ระดับร่องของแบริกเกิดบริเวณกึ่งกลางฟันตัดซี่กลาง เมื่อผูกลวดกดพื้นทางด้านหน้าเข้ากับลวดยึดพื้นหน้าแล้ว ต้องยึดลวดกดพื้นบริเวณอีลิคซ์เข้ากับตะขอ ด้านใกล้กลางของหลอดโลหะด้านใกล้กับด้วยลวดมัดพื้น เพื่อป้องกันพื้นหน้าเคลื่อนที่มาจากด้านใกล้ริมฝีปาก



รูปที่ ๓ แสดงลักษณะของเครื่องมือที่ใช้ในอินทราอาร์ช ออรัล เทคนิค

ตารางที่ ๑ แสดงขนาดของแรงกดฟันที่ Burstone (1985) แนะนำให้ใช้

ฟันซี่ที่ถูกกด	ขนาดของแรงกดต่อข้าง (กรัม)	ขนาดของแรงกดทั้งหมดต่อจุดกึ่งกลาง (กรัม)
<u>1 1</u>	15-20	30-40
<u>21 12</u>	30-40	60-80
<u>321 123</u>	60	120
<u>1 1</u>	12.5	25
<u>21 12</u>	25	50
<u>321 123</u>	50	100
<u>3</u>	25	
<u>3</u>	25	

ในการกดฟันหน้าด้วยอินทรีซีฟ อาร์ช เทคนิคยึดหลักสำคัญในการกดฟันหน้าให้มีประสิทธิภาพ

๖ ประการ คือ

๑. การควบคุมขนาดและความคงที่ของแรงและโมเมนต์ (moment)
๒. การให้แรงเป็นจุดสัมผัสต่อหน่วยเคลื่อนที่
๓. การให้แรงกระทำผ่านจุดศูนย์กลางความต้านทานของหน่วยเคลื่อนที่
๔. การเลือกกดฟันเฉพาะตำแหน่ง
๕. การควบคุมหลักยึด
๖. การหลีกเลี่ยงกลไกที่ทำให้เกิดฟันงอกยาว

การควบคุมขนาดและความคงที่ของแรงและโมเมนต์

Burstone (1962, 1966) แนะนำว่า การกดฟันหน้านั้นจะต้องใช้แรงที่มีขนาดน้อยที่สุดที่สามารถกดฟันหน้าเพื่อไม่ให้เกิดผลข้างเคียง ได้แก่ การเกิดการสูญเสียหลักยึดจากโมเมนต์ที่มีขนาดสูงและการละลายของรากฟัน

ขนาดของแรงทางทันตกรรมจัดฟัน (Reitan, 1975) สามารถจำแนกได้ดังนี้

๑. แรงขนาดต่ำ (low force) ซึ่งถ้าให้แรงกระทำเป็นระยะเวลาานพอสามารถทำให้ฟันเคลื่อนที่ได้ในอัตราที่ช้ามากจนไม่เกิดประโยชน์ในทางคลินิก

๒. แรงขนาดพอเหมาะ เป็นขนาดของแรงที่เหมาะสมในการทำให้ฟันเคลื่อนที่ได้ อย่างมีประสิทธิภาพมากที่สุด กล่าวคือ อัตราการเคลื่อนที่ของฟันสูงสุดในระยะเวลาอันสั้น โดยฟันเคลื่อนที่อย่างสม่ำเสมอและต่อเนื่อง ทำให้เกิดความเสียหายต่อเนื้อเยื่อรองรับฟันน้อยที่สุดและผู้ป่วยเกิดความรู้สึกเจ็บปวดน้อยที่สุด ซึ่ง Schwarz กล่าวว่าแรงขนาดพอเหมาะนี้ต้องไม่ทำให้เกิดการตีตันของหลอดเลือดที่มาเลี้ยงเนื้อเยื่อปริทันต์ คือ มีค่าระหว่าง ๒๐-๒๖ กรัม/ตารางเซนติเมตร เท่ากับแรงดันของเลือดในหลอดเลือดฝอย

การวัดขนาดของแรงที่เหมาะสมในการเคลื่อนฟันขึ้นกับ

๒.๑ พื้นที่ยึดของรากฟันและรูปร่างของรากฟันแต่ละซี่ ซึ่งขึ้นกับ

๒.๑.๑ ผิวรากฟันด้านที่กระทำต่อแนวการเคลื่อนที่ของฟัน (projected surface)

๒.๑.๒ จำนวนฟัน ฟันหลายซี่มีพื้นที่รากฟันมากกว่าจึงช่วยในการกระจายแรงได้ดีกว่าฟันซี่เดียว

๒.๑.๓ จำนวนรากฟัน ฟันหลายรากย่อมรับแรงได้ดีกว่าฟันรากเดียว

ค่าเฉลี่ยของความเค้นที่เนื้อเยื่อปริทันต์ได้รับเป็นสิ่งสำคัญในการพิจารณาขนาดของแรงที่ใช้เคลื่อนฟัน (ดังสูตร)

$$\text{ความเค้น} = \frac{\text{ขนาดของแรง}}{\text{พื้นที่ที่ได้รับแรงกระทำ}}$$

๒.๒ ชนิดของการเคลื่อนที่ของฟัน (type of orthodontic displacement)
ขนาดของแรงที่เหมาะสมกับลักษณะการเคลื่อนที่ของฟันชนิดต่าง ๆ

(ตารางที่ ๒)

ตารางที่ ๒ : แสดงขนาดของแรงที่เหมาะสมในการเคลื่อนฟันชนิดต่างๆ (Giannelly, 1971)

ชนิดของการเคลื่อนฟัน	ขนาดของฟัน	ขนาดของแรงที่เหมาะสม (กรัม/ซี)
๑. การเคลื่อนที่แบบทึบปีง	ฟันขนาดเล็ก (ฟันหน้า)	๒๐-๓๐
	ฟันขนาดใหญ่ (ฟันเขี้ยว)	๕๐-๗๕
๒. การเคลื่อนที่แบบขอดีลิส์	ฟันขนาดเล็ก	๕๐-๕๐
	ฟันขนาดใหญ่	๑๕๐-๒๐๐
๓. การเคลื่อนที่แบบทอร์ค	ฟันขนาดเล็ก	๕๐
	ฟันขนาดใหญ่	๑๒๐-๑๕๐
๔. การเคลื่อนที่แบบเอ็กซ์ทรูซึฟ		๒๕-๓๐
๕. การเคลื่อนที่แบบอินทรูซึฟ		๑๕-๓๐

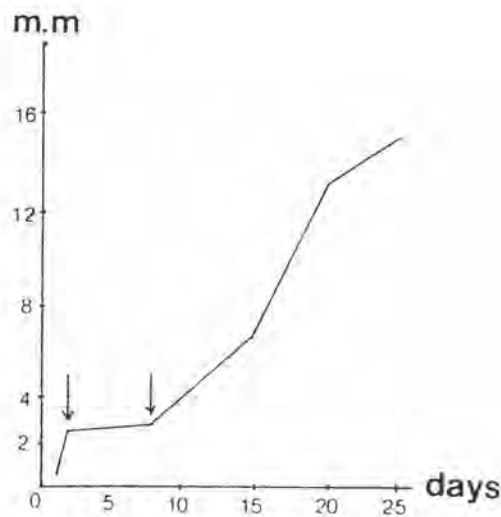
๒.๓ การตอบสนองทางชีวภาพของผู้ป่วยแต่ละราย ซึ่งขึ้นกับความหนาแน่นของกระดูก ความหนาของเนื้อเยื่อปริทันต์ อัตราการละลายของกระดูก อิทธิพลของผิวกระดูกที่

เมื่อให้แรงขนาดพอเหมาะกระทำบนตัวฟันจะเกิดการเคลื่อนที่ของฟันเป็น ๓ ระยะ คือ (รูปที่ ๔)

ก. ระยะแรก เกิดขึ้นทันทีที่ฟันได้รับแรงและเกิดต่อเนื่องไปอีก ๒-๓ วัน โดยฟันจะเคลื่อนตัวอย่างรวดเร็วในระยะทางสั้น ๆ ของช่องปริทันต์ (periodontal space) จากนั้นจึงหยุดเคลื่อน

ข. ระยะที่สอง (delay period) เป็นช่วงที่ฟันเคลื่อนที่น้อยมาก หรือไม่มีการเคลื่อนที่เลย ระยะนี้เกิดการทำลายของกระดูกโดยตรง (direct bone resorption) ใช้เวลาสั้นๆ เพียง ๓-๔ วัน

ค. ระยะที่สาม ฟันจะเคลื่อนที่ไปตามช่องว่างขนาดเล็กที่เกิดจากการละลายของกระดูกโดยตรง ถ้ายังคงมีแรงกระทำอยู่จะเกิดการละลายของกระดูกอย่างต่อเนื่องและฟันจะเคลื่อนตัวอย่างต่อเนื่องที่ละน้อยด้วยอัตราเร็วคงที่



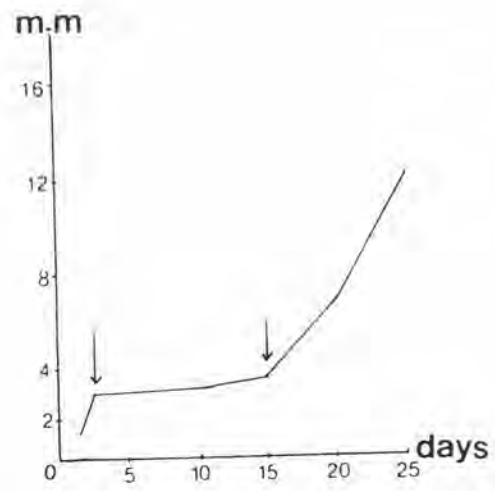
รูปที่ ๔ แสดงการเคลื่อนที่ของฟันระยะต่าง ๆ จากการใช้แรงที่มีขนาดพอเหมาะ (Giannelly และ Goodman, 1971)

๓- แรงขนาดมาก (heavy force) เมื่อให้แรงที่มีขนาดมากกระทำต่อฟัน ทำให้เกิดการเคลื่อนที่ของฟันได้เช่นกัน แต่ลักษณะการเคลื่อนที่แตกต่างจากการให้แรงขนาดพอเหมาะ จากการศึกษาทางคลินิกพบว่า เมื่อให้แรงขนาดมากกระทำต่อฟันจะเกิดการเคลื่อนที่ ๓ ระยะ คือ (รูปที่ ๕)

ก. ระยะแรก เกิดขึ้นทันทีหลังจากให้แรงกระทำต่อฟัน และแรงเกิดต่อเนื่องไปอีก ๒-๓ วัน โดยฟันจะเคลื่อนตัวอย่างรวดเร็วในระยะทางสั้น ๆ ของช่องปริทันต์ จากนั้นฟันจะหยุดเคลื่อน

ข. ระยะที่สอง เป็นช่วงที่ฟันเคลื่อนที่น้อยมาก หรือไม่มีการเคลื่อนที่เลย ประมาณ ๒-๓ สัปดาห์ เนื่องจากเกิดการละลายของกระดูกโดยอ้อม (indirect) จึงไม่มีการเคลื่อนที่ของฟันเลยจนกว่าชั้นเดลิ โบน (bundle bone) จะถูกทำลาย ปริมาณของกระดูกที่ถูกทำลายมีจำนวนมากจึงใช้เวลานาน และหลังจากการละลายจะเกิดช่องว่างขนาดใหญ่

ค. ระยะที่สาม ฟันจะเคลื่อนที่อย่างรวดเร็วและเป็นระยะทางมากเข้าไปในช่องว่างที่เกิดขึ้นนั้น การเคลื่อนที่อย่างรวดเร็วร่วมกับแรงกระทำที่ยังคงมีอยู่ จะทำให้เอ็นยึดปริทันต์ (periodontal ligament) ถูกแรงกดมาก จนเกิดการตีตันของหลอดเลือด และเกิดไฮยาลิไนเซชัน (hyalinization) ขึ้นใหม่



รูปที่ ๕ แสดงการเคลื่อนที่ของฟันระยะต่าง ๆ เมื่อได้รับแรงขนาดมาก (Giannelly และ Goodman, 1971)

๔. แรงขนาดสูงมากเกินไป (excessive force) เมื่อกระทำต่อฟันอาจทำให้ฟันที่ต้องการเคลื่อนหยุดอยู่กับที่เป็นเวลานาน จนอาจกลายเป็นแรงขนาดพอเหมาะของฟันหลักยึดที่มีขนาดใหญ่กว่า ผลก็คือทำให้หลักยึดเคลื่อนมาทางด้านหน้าเกิดภาวะการสูญเสียของหลักยึดขึ้น และถ้าแรงที่มีขนาดมาก ๆ นี้ยังคงอยู่ต่อไป จะทำให้เอ็นยึดปริทันต์ถูกกดมากจนฟันชิดกับผิวกระดูกเข้าฟัน (alveolar proper) เกิดการตีตันของหลอดเลือด ขาดสารอาหารหล่อเลี้ยง เกิดไฮยาลินในเซชันบริเวณกว้าง ตามด้วยการทำลายของกระดูกโดยอ้อม นอกจากนี้ยังอาจเกิดการละลายของรากฟัน การตายของเนื้อเยื่อประสาทรากฟันทางด้านที่ถูกยึด (tension side) มีการฉีกขาดของเอ็นยึดปริทันต์และหลอดเลือด ผู้ป่วยอาจมีฟันโยกหรือมีอาการปวดมาก มีการยับยั้งการสร้างกระดูกและกระตุ้นการทำลายของกระดูกแทน อันเป็นเหตุให้เกิดผลเสียมากมายตามมา

Reitan (1975) กล่าวว่า การให้แรงกระทำอย่างต่อเนื่อง และการกระตุ้นซ้ำ (reactivation) ที่เร็วเกินไป จะยิ่งเพิ่มปริมาณและระยะเวลาในการเกิดไฮยาลินในเซชัน ซึ่งส่งผลให้เกิดการละลายของกระดูกโดยอ้อมมากขึ้นด้วย โดยเฉพาะอย่างยิ่งในผู้ป่วยอายุมาก

Storey (1973) กล่าวว่าขนาดของแรงที่ใช้ในการเคลื่อนฟันเป็นสัดส่วนกับพื้นที่ผิวรากฟัน การใช้แรงมากเกินไปจะทำให้เกิดการละลายของกระดูกแบบ อันเดอร์มายนิ่ง (undermining resorption) จากการที่เนื้อเยื่อปริทันต์ถูกบีบให้ชิดกับกระดูกรองรับฟัน จนเกิดการฉีกขาดของเส้นเลือด ฟันจะไม่เคลื่อนที่จนกว่าร่างกายจะสามารถกำจัดเนื้อเยื่อตาย (necrotic tissue) ได้หมด และสร้างเนื้อเยื่อใหม่ขึ้นมาทดแทน ดังนั้นฟันจึงเคลื่อนที่อย่างไม่ต่อเนื่อง

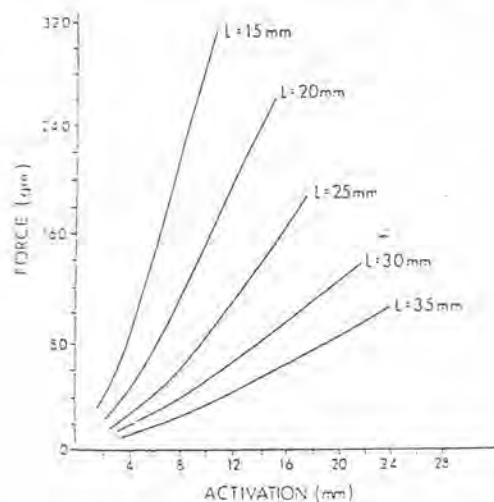
จากการศึกษาของ Dellinger (1967) โดยการกดฟันกรามน้อยในลิง พบว่าการใช้แรงมากเกินไปในการกดฟันจะมีผลต่อฟันหลังที่เป็นหลักยึดอย่างมีนัยสำคัญทางสถิติ เนื่องจากจะมีแรงในแนวตั้งที่มีขนาดเท่ากับแรงกดฟัน และมีทิศทางตรงกันข้ามกับแรงกดฟัน กระทำต่อฟันหลังในลักษณะที่ทำให้เกิดการยื่นยาวของฟันหลังและโมเมนต์ที่เกิดขึ้นจะมีขนาดมาก เนื่องจากขนาดของแรงที่มาก ร่วมกับระยะแขนของสปริงกดฟันที่ยาวมาก จึงส่งผลให้เกิดการเอียงตัวไปทางด้านหลังของฟันกรามและเกิดการสูญเสียของหลักยึด จากการลอยตัวของฟันกราม ในระหว่างการกดฟันหน้า

จากทฤษฎีและการศึกษาต่าง ๆ ที่กล่าวมานั้นล้วนแต่สนับสนุนหลักการในเรื่องขนาดของแรง ตามวิธีการของ Burstone เพื่อให้ผลในการกดฟันได้อย่างมีประสิทธิภาพ

นอกจากนี้ความคงที่ของแรงและโมเมนต์สามารถกำหนดได้จากสปริงที่มีคุณสมบัติดังต่อไปนี้

๑. อัตราส่วนระหว่างโมเมนต์ต่อแรงของสปริงควรมีขนาดเหมาะสม เพื่อควบคุมการเคลื่อนที่ของจุดหมุน และอัตราส่วนนี้ควรคงที่ตลอดการเคลื่อนที่ของฟัน
๒. สปริงควรให้แรงคงที่อยู่นาน และสามารถวัดขนาดของแรงที่เกิดขึ้นได้
๓. เครื่องมือต้องไม่มีความเสียดทาน (friction) เพื่อมิให้เกิดการสูญเสียของแรงขณะที่ฟันเคลื่อนที่ไปหรือสามารถวัดขนาดของแรงที่กระทำต่อฟันได้
๔. สปริงควรมีโพลด-ดีเฟล็กชัน เรตต่ำ มีอีลาสติก ลิมิต (elastic limit) สูง มีโมดูลัสของการยืดหยุ่นต่ำ เพื่อมิให้เกิดการเปลี่ยนรูปร่างถาวรของสปริง

ดังนั้นในการออกแบบสปริงกดฟันหน้าจึงมีการเพิ่มความยาวของลวดจากระยะแบนของสปริงที่วัดตั้งแต่ด้านใกล้กลางของฟันกรามไปถึงจุดกึ่งกลางระหว่างฟันตัดซี่กลาง ต่างจากการใช้ลวดโค้งต่อเนื่องซึ่งความยาวของลวดจะถูกจำกัดจากระยะระหว่างแบร็กเก็ตของฟันแต่ละซี่ และการตัดอีลิคซ์ที่มีขนาดเส้นผ่าศูนย์กลาง ๓ มิลลิเมตรจำนวนล่องรอบครึ่ง เป็นการเพิ่มความยาวของสปริงกดฟันหน้าทำให้มีโพลด-ดีเฟล็กชัน เรตต่ำ (รูปที่ ๖) กล่าวคือ แรงกดของสปริงที่ลดลงต่อหน่วยระยะทางที่ฟันเคลื่อนที่ไปภายหลังแอ็กติเวตมีขนาดน้อย จึงทำให้แรงคงที่อยู่ตลอดเวลา



รูปที่ ๖ กราฟแสดงการเปรียบเทียบความยาวของสปริงที่เพิ่มขึ้นทำให้โพลด-ดีเฟล็กชัน เรตลดลง (Burstone, 1977)

นอกจากนี้แกนของสปริงที่ยาวยังช่วยให้ทิศทางของแรงเปลี่ยนแปลงไปจากแนวเดิมน้อย เมื่อพื้นเคลื่อนที่ไปจากตำแหน่งเดิม (รูปที่ ๗) และเนื่องจากสปริงมีโพลด-ดีเฟล็กชัน เรตต่ำ จึงทำให้การวัดขนาดแรงกดพื้นมีความเที่ยงตรงมากกว่า



รูปที่ ๗ แสดงการเปรียบเทียบความยาวของแกนของสปริงซึ่งมีผลต่อทิศทางของแรง

ปัจจัยอีกประการหนึ่งที่ทำให้ระดับของแรงและโมเมนต์คงที่ และสามารถวัดขนาดได้ คือ การกำจัดแรงเสียดทานที่เกิดขึ้นในสปริงกดพื้น ตามวิธีการของ Burstone นั้นสปริงกดพื้น ไม่ถูกผูกเข้าสู่ร่องของแบริกเก็ตของพื้นหน้าที่ต้องการกดโดยตรง แต่ผูกสปริงกับจุดกึ่งกลางทาง ด้านไกล์ริมฝีปากของลวดยึดพื้นหน้า

การให้แรงเป็นจุดสัมผัสต่อหน่วยเคลื่อนที่

ดังได้กล่าวมาแล้วว่า สปริงกดพื้นไม่ถูกผูกเข้าสู่ร่องของแบริกเก็ตของพื้นหน้าซึ่งต้องการกดแต่จะผูกเข้ากับจุดกึ่งกลางของลวดยึดพื้นหน้าระหว่างพื้นตัดซี่กลางทั้งสอง เปรียบเสมือนการให้แรงกระทำต่อวัตถุเป็นจุดสัมผัสทำให้สามารถวัดและคาดคะเนระบบของแรงที่เกิดขึ้นต่อพื้น กำจัดแรงเสียดทานและหลีกเลี่ยงการทำให้เกิดทอร์คต่อพื้นหน้า ทั้งนี้เพราะการนำสปริงกดพื้นซึ่งทำจากลวดเหล็ยมีไส้ในร่องของแบริกเก็ตของพื้นหน้า จะเกิดการบิดตัวของลวดขณะพื้นถูกกด

กรณีที่เกิดการทอร์ครากไปทางด้านไกล์ริมฝีปากจะยิ่งส่งเสริมให้ขนาดของแรงกดพื้นเพิ่มมากขึ้น และเพิ่มแนวโน้มที่ทำให้เกิดการสูญเสียหลักยึด

ในทางตรงกันข้าม ถ้าลักษณะที่เกิดเป็นการทอรัครากไปทางด้านไกลลื่นจะส่งผลให้แรงกดพื้นลดลงจากทิศทางของแรงซึ่งหักล้างกัน และถ้าการทอรัครากไปทางด้านไกลลื่นนั้นมีมากกว่าแรงกดจะทำให้เกิดพื้นหน้ายื่นยาว

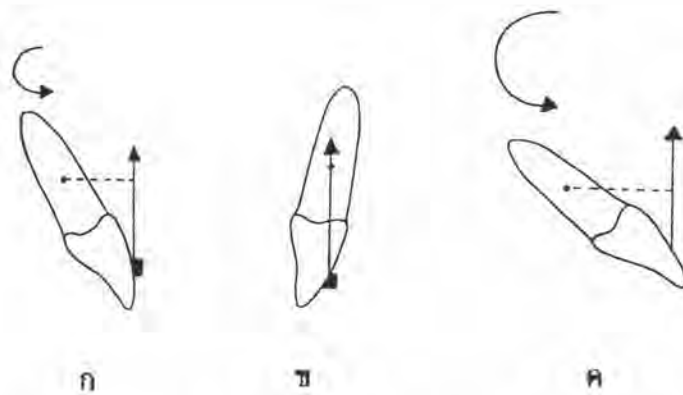
ดังนั้นการให้แรงกระทำเป็นจุดล้มผลต่อหน่วยเคลื่อนที่ทั้งหมดจึงเป็นการลดผลข้างเคียงลดแรงเสียดทานของสปริง และสามารถปรับการเรียงตัวของพื้นหน้าด้วยลวดยึดพื้นหน้าไปพร้อมๆ กับการกดพื้นได้

การให้แรงกระทำผ่านจุดศูนย์กลางความต้านทานของหน่วยเคลื่อนที่

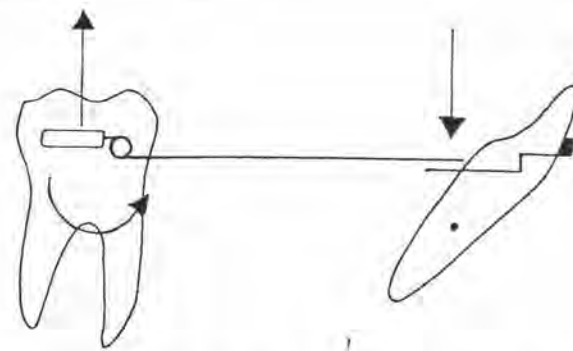
แรงจากสปริงกดพื้นต้องผ่านจุดศูนย์กลางความต้านทานของหน่วยเคลื่อนที่โดยไม่ทำให้เกิดการหมุนของพื้นหน้าไปทางด้านไกลริมฝีปากหรือทางด้านไกลลื่นขณะกดพื้น โดยตำแหน่งที่แรงกระทำประมาณจากจุดศูนย์กลางความต้านทานของรากฟันที่ถูกกด

ตามปกติแรงกดพื้นกระทำทางด้านไกลริมฝีปากของพื้นหน้า จึงทำให้เกิดการเคลื่อนที่ของตัวฟัน (crown) ไปทางด้านไกลริมฝีปากขณะที่รากฟันเคลื่อนที่ไปทางด้านไกลลื่น (รูปที่ ๔ ก) ในกรณีเช่นนี้จะให้ผลดีต่อการกดพื้นหน้าที่มีตำแหน่งหลบเข้า (retroclination) ในผู้ป่วยที่มีการสบฟันผิดปกติประเภทที่ ๒ ดิวชัน ๒ (รูปที่ ๔ ข)

ในรายที่มีฟันยื่น แรงกดซึ่งกระทำทางด้านหน้าต่อจุดศูนย์กลางความต้านทานของพื้นหน้า จะทำให้เกิดโมเมนต์สูงและส่งผลให้รากฟันเคลื่อนที่ไปทางด้านไกลลื่นมากขึ้น (รูปที่ ๔ ค) ในกรณีเช่นนี้ต้องใช้กลไกการกดพื้นที่ต่างจากปกติ โดยการดัดลวดยึดพื้นหน้าให้มีปลายทั้งสองข้างยื่นออกมาทางด้านหลังมากขึ้น และสปริงกดพื้นหน้าต้องแยกจากกันเป็นด้านซ้ายและด้านขวา เพื่อยึดกับลวดยึดพื้นหน้าแต่ละข้าง (รูปที่ ๕) หรือในกรณีที่พื้นหน้ามีลักษณะซ้อนเกและแนวแกนของฟันผิดปกติมาก จำเป็นต้องถอนฟันกรามน้อยเพื่อใช้ในการจัดเรียงพื้นหน้า อาจใช้วิธีการเคลื่อนฟันเขี้ยวไปทางด้านหลังเป็นลำดับแรก เพื่อให้มีเนื้อที่เพียงพอในการปรับแนวแกนของพื้นหน้าให้ถูกต้องหลังจากนั้นจึงเริ่มกดพื้นหน้า



รูปที่ ๔ แสดงผลจากการเอียงตัวของปีกหน้าต่อแนวของแรงยกปีกที่กระทำต่อจุดศูนย์กลางความต้านทาน (Burstone, 1977; Burstone และ Hanley, 1985)



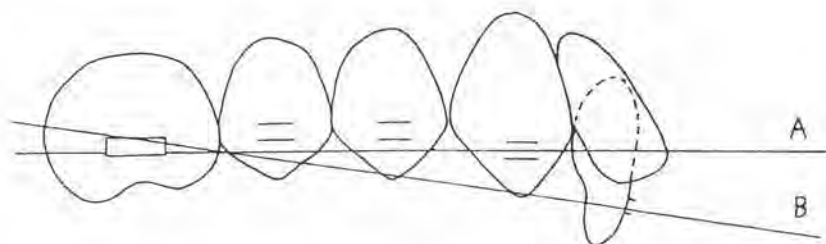
รูปที่ ๕ แสดงลักษณะของลวดยึดปีกหน้าซึ่งมีปลายยื่นมาด้านหลังเพื่อยึดกับสปริงยกปีก (Burstone, 1977)

การเลือกยกปีกเฉพาะตำแหน่ง

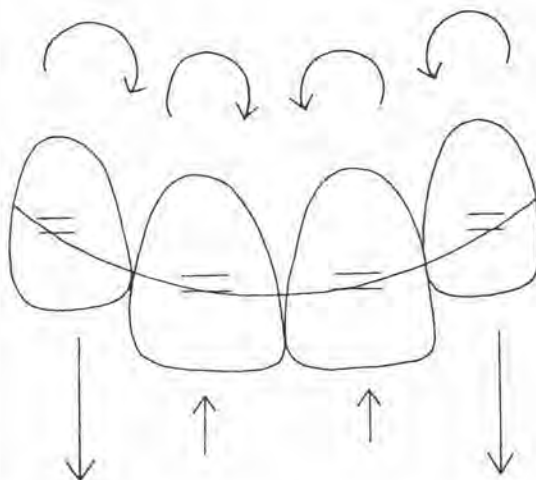
การยกปีกควรพิจารณาตำแหน่งปีกที่ต้องการแก้ไขและระนาบขดเคี้ยวภายหลังการยกปีก ในผู้ป่วยที่มีฟันสบลึกจากการสบฟันผิดปกติประเภทที่ ๒ ดิวิชัน ๒ (รูปที่ ๑๐) การยกปีกหน้าจะต้องพิจารณาระดับของฟันตัดซี่กลางและฟันตัดซี่ข้างเป็นสำคัญ ในกรณีที่ระดับของฟันทั้งสองแตกต่างกันมากต้องยกฟันตัดซี่กลางสองซี่ให้มีระดับเท่ากับฟันตัดซี่ข้างก่อน จากนั้นจึงยกฟันทั้งสี่ซี่ให้มีระดับตามที่กำหนดเพื่อป้องกันไม่ให้ฟันตัดซี่ข้างงอขาวจากแรงปฏิกิริยาที่เกิดจากการยกฟันตัดซี่กลาง และเกิด

การเอียงตัวของรากฟันไปทางด้านใกล้กลาง (รูปที่ ๑๑) เนื่องจากแรงกิริยาและแรงปฏิกิริยามีขนาดเท่ากันและมีทิศทางตรงข้ามกันร่วมกับขนาดพื้นที่รากฟันตัดซี่ข้างน้อยกว่า และการงอกยาวของฟันเกิดได้ง่ายกว่าการกดฟันด้วยจึงทำให้ฟันซี่ดังกล่าวเกิดการงอกยาวได้ง่ายกว่า

ในทำนองเดียวกันผู้ป่วยที่มีการสบฟันประเภทที่ ๒ ดิวิชัน ๑ อาจต้องเลือกกดทั้งฟันหน้าบนและฟันหน้าล่างให้ได้ระดับถูกต้อง



รูปที่ ๑๐ แสดงลักษณะการกดฟันในรายที่มีการสบฟันผิดปกติประเภทที่ ๒ ดิวิชัน ๒ แทนที่จะเกิดการกดฟันลงไปดังเส้นตรง A กลับเกิดการเปลี่ยนแปลงของระนาบคเคี้ยวดังเส้นตรง B (Burstone, 1977)



รูปที่ ๑๑ แสดงผลของแรงปฏิกิริยาในการกดฟันตัดซี่กลางทำให้ฟันตัดซี่ข้างงอกยาวและรากฟันเอียงตัวไปทางด้านใกล้กลาง (Burstone, 1977; Burstone และ Hanley, 1985)

การควบคุมหลักยึด

การใช้สปริงกดพื้นหน้าทำให้เกิดผลข้างเคียงต่อพื้นที่ใช้เป็นหลักยึด ๒ ประการ คือ

๑. โมเมนต์ที่เกิดจากแรงปฏิกิริยาซึ่งมีขนาดเท่ากับแรงกดพื้นแต่มีทิศทางตรงกันข้าม ร่วมกับควมสวของแขนของสปริงกดพื้น ซึ่งมีระยะจากด้านใกล้กลางของพื้นกรามไปยังจุดกึ่งกลางระหว่างพื้นหน้ามีแนวโน้มทำให้พื้นหลังงอยาว ป้องกันได้โดยใช้แรงกดพื้นหน้าที่มีขนาดพอเหมาะ ร่วมกับการรวมพื้นหลังทุกซี่เป็นหน่วยเดียวกันด้วยลวดยึดพื้นหลังและลิงกวล อาร์ช

๒. โมเมนต์ที่เกิดจากแรงปฏิกิริยาและแขนของสปริงในข้อ ๑ จะกระทำทางด้านใกล้แก้มของพื้นหลัง ทำให้เกิดการล้มเอียงไปทางด้านใกล้ลิ้นของตัวพื้นและรากฟันเอียงไปทางด้านใกล้แก้ม ป้องกันโดยการยึดพื้นกรามด้านขวาและซ้ายด้วยทรานซ์ นาราทัล อาร์ช หรือ ลิงกวล อาร์ช และยังช่วยรักษาความกว้างของขากรรไกรให้คงที่

การหลีกเลี่ยงกลไกที่ทำให้เกิดการฟันงอยาว

การงอยาวของฟันเกิดขึ้นได้ง่ายกว่าการกดฟันด้วยเหตุผลดังต่อไปนี้

๑. การงอยาวของฟันไม่มีความต้านทานจากกระดูก (bony resistance)

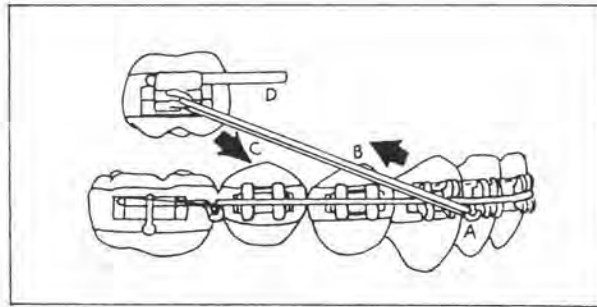
เหมือนการกดฟัน

๒. ลักษณะของเส้นใย (fiber) ยึดรากฟันมีการเรียงตัวเอียงเฉียง (oblique) ขึ้น เมื่อได้รับแรงกระทำในทิศทางที่ออกจากเข้าฟัน เส้นใยยึดรากฟันจึงเพียงแต่ถูกยึดขึ้นในทิศทางเดียวกันกับการเรียงตัว (passive arrangement) แต่การกดฟันนั้นมีการต้านทานของเส้นใยต่อแรงกดมากกว่า เพราะเส้นใยยึดรากฟันถูกกดเฉียงลงเกิดเป็นลักษณะที่เรียกว่า แฮมม็อก เอฟเฟ็ก (Hammock effect) โดยเส้นใยยึดรากฟันแสดงลักษณะคล้ายเปลญวนต้านต่อการกดฟัน จนกระทั่งมีการละลายของกระดูกที่ปลายรากฟันจึงมีการเคลื่อนที่ของฟันได้

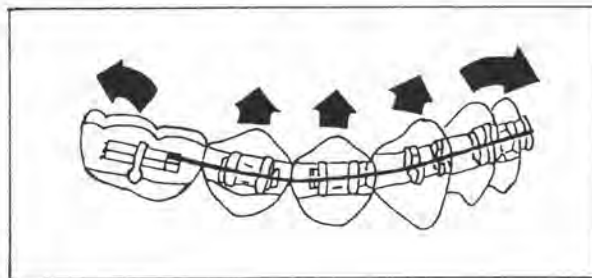
อย่างไรก็ตามผลจากการกดฟันจะคงที่ (prognosis of retention) ดีกว่า

การทำให้ฟันงอยาว ถ้ามีการละลายของกระดูกบริเวณปลายรากฟันอย่างสมบูรณ์และยังมีแรงจากการบดเคี้ยวช่วยต้านการคืนกลับด้วย

กลไกที่ทำให้เกิดการงอกยาวของฟัน ได้แก่ การใช้ยางดึงระหว่างขากรรไกร (intermaxillary elastic) (รูปที่ ๑๒) เซอร์วิคอล เอคเกียร์ และการตัดรีเวิร์ส เคิร์ฟ ออฟ สปี (รูปที่ ๑๓) รวมไปถึงการปรับระดับของฟันเขี้ยวที่อยู่สูงกว่าระนาบตเคี้ยวหรือฟันเขี้ยวที่มีการเอียงของรากฟันไปทางด้านใกล้กลาง การรักษาควรใช้สปริงเฉพาะส่วนกุดฟันเขี้ยวเข้าสู่ระนาบตเคี้ยวของฟันซี่อื่นๆ หรือใช้สปริงตั้งรากฟันเขี้ยวให้อยู่ในตำแหน่งที่ถูกต้องก่อน ไม่ควรปรับระดับฟันเขี้ยวไปพร้อมกับฟันซี่อื่นๆในขากรรไกร ดังเช่นการใช้ลวดโค้งต่อเนื่องหรือการใช้สปริงกุดฟันหน้าทั้งหกซี่พร้อมๆกัน เพราะทำให้เกิดโมเมนต์ดึงยกฟันหลังให้งอกยาวขึ้น วิธีการของ เช็กแมนเต็ด อาร์ช จึงออกแบบสปริงที่ใช้กุดเฉพาะส่วนฟันเขี้ยวแยกออกจากสปริงที่ใช้กุดฟันหน้า



รูปที่ ๑๒ แสดงผลของการใช้ยางดึงระหว่างขากรรไกรทำให้เกิดการงอกยาวของฟัน (Ricketts, 1979)



รูปที่ ๑๓ แสดงผลของการตัดรีเวิร์ส เคิร์ฟ ออฟ สปี ซึ่งทำให้ฟันหลังงอกยาว (Ricketts, 1979)

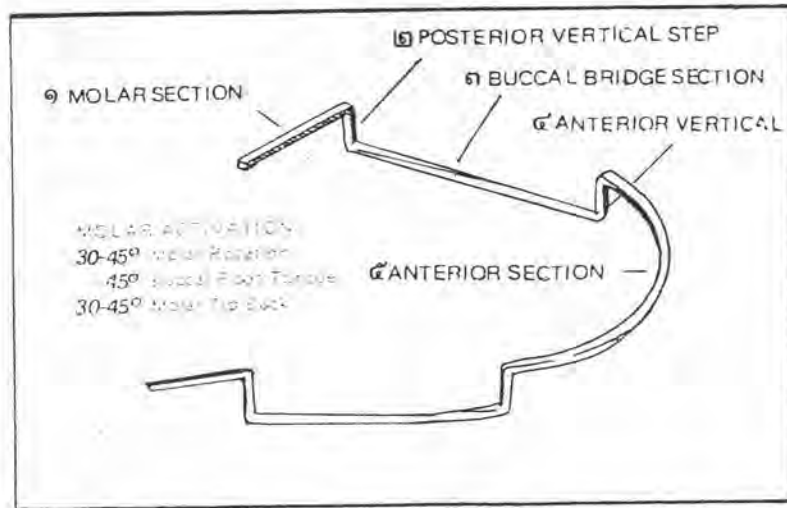
หลักการกดฟันหน้าด้วยริกเก็ตส์ ยุกิลิตี อาร์ช เทคนิค

การกดฟันหน้าด้วยริกเก็ตส์ ยุกิลิตี อาร์ช เริ่มพัฒนามาจากการที่ Ricketts และคณะ (1979) ได้พยายามใช้ฟันหน้าล่างกลับมาเป็นหลักยึดเพื่อแก้ไขการล้มเอียงของฟันหลัง ในรายที่ถอนฟัน โดยใช้ลวดกลมตัดเป็นลวดโค้งต่อเนื่องสอดยึดฟันกราม ฟันกรามน้อยและฟันหน้าไว้ด้วยกัน ในขณะที่ทำการดึงฟันเขี้ยวภายหลังเพื่อปิดช่องว่างจากการถอนฟัน ผลปรากฏว่าลวดลักษณะนี้สามารถช่วยรักษาตำแหน่งของฟันหน้าไว้ได้และยังมีผลในการกดฟันหน้า ต่อมาเขาได้พัฒนาลวดโค้งต่อเนื่องจากลวดกลมมาเป็นลวดเหลี่ยมโดยตัดลวดบริเวณฟันเขี้ยวและฟันกรามน้อยให้มีระดับต่ำจากขอบเหงือกประมาณ ๓-๔ มิลลิเมตร ขึ้นกับความลึกของช่องปากส่วนนอก (vestibule) เพื่อป้องกันมิให้ลวดเสียดรูปจากแรงบดเคี้ยวและช่วยรักษาความยาวของขากรรไกร เพื่อให้ฟันกรามน้อยและฟันเขี้ยวถาวรสามารถขึ้นได้ในกรณีที่เป็นระยะฟันชุดผสม ลวดโค้งดังกล่าวนี้เรียกว่า ริกเก็ตส์ ยุกิลิตี อาร์ช

ส่วนประกอบของริกเก็ตส์ ยุกิลิตี อาร์ชล่าง (รูปที่ ๑๔)

(Ricketts, 1976, Ricketts และคณะ, 1979)

๑. โมลาร์ เช็กชั้น (molar section)
๒. โพลทีเรีย เวอร์ติคอลล สเต็ป (posterior vertical step)
๓. บัคคอลล บริดจ์ (buccal bridge)
๔. แอนทีเรีย เวอร์ติคอลล สเต็ป (anterior vertical step)
๕. แอนทีเรีย เช็กชั้น (anterior section)



รูปที่ ๑๔ แสดงส่วนประกอบของริกเก็ตส์ ยูทิลิตี้ อาร์ชล่าง
(Ricketts และคณะ, 1979)

บทบาทและหน้าที่ของริกเก็ตส์ ยูทิลิตี้ อาร์ช (Ricketts และคณะ, 1979)

- ปรับตำแหน่งของฟันกรามล่างเข้าสู่ผิวกระดูกทึบเพื่อเสริมหลักยึดของฟันหลัง จากตำแหน่งของฟันกราม ฟันกรามน้อยและฟันเขี้ยวของขากรรไกรซึ่งวางตัวอยู่ในขากรรไกรล่าง ทางด้านใกล้แก้มจะมีผิวกระดูกทึบของเอ็กซ์เทอร์นอล ออบลิค ริดจ์ (external oblique ridge) ซึ่งมีความหนาแน่นของกระดูกสูง และมีเส้นเลือดมาหล่อเลี้ยง (blood supply) น้อยมาก การมีเลือดหล่อเลี้ยงในกระดูกน้อยทำให้กระบวนการทางสรีรวิทยา (physiologic process) ของกระดูกถูกหน่วงเหนี่ยวให้ช้าลง เมื่อได้รับแรงฟันจึงเคลื่อนที่ได้ช้าลง จากหลักการที่ว่าฟันที่เป็นหลักยึดที่ดีที่สุดนั้นควรเป็นฟันที่ไม่เคยได้รับการรบกวนมาก่อน และจากข้อสนับสนุนทางคลินิกเกี่ยวกับการกดปุ่มฟันด้านใกล้ลิ้น (lingual cusp) ของฟันกรามให้จมลงเป็นการช่วยเพิ่มหลักยึดให้กับฟัน ดังนั้น Ricketts จึงออกแบบยูทิลิตี้ อาร์ชให้มีลักษณะทึบแนบ เบนต์ ทอร์คและโรเตชัน เพื่อช่วยให้เกิดลักษณะการขึ้นของฟันกรามอย่างถูกต้องตั้งแต่เริ่มบำบัดรักษา และยังช่วยให้รากฟันกรามเคลื่อนไปสัมพันธ์กับผิวกระดูกทึบใต้เอ็กซ์เทอร์นอล ออบลิค ริดจ์ ทำให้ฟันกรามมีคุณสมบัติของหลักยึดที่ดี

๒. ปรับการเรียงตัวของฟันหน้าล่าง

ริกเก็ตส์ ยูทิลิตี้ อาร์ชถูกออกแบบให้สามารถแก้ไขการเรียงตัวของฟันหน้าทั้ง
๔ ซี่ได้โดยไม่เกี่ยวข้องกับฟันเขี้ยวและฟันกรามน้อย ทำให้ประสิทธิภาพในการแก้ไขฟันหน้าทั้ง
๔ ซี่มีมากกว่าการใช้ลวดโค้งต่อเนื่อง

๓. แบ่งแยกการรักษาเป็นส่วนของฟันหน้าและฟันหลัง

การรักษาส่วนใหญ่ คือ การพยายามดึงฟันเขี้ยวให้เข้าไปสู่ตำแหน่งที่ต้องการ
ในผู้ป่วยที่มีความผิดปกติของการสบฟันประเภทที่ ๒ นั้น มักพบว่าฟันหน้าล่างและฟันเขี้ยวออกยาว
กว่าปกติมาก การรักษาแยกเป็นเซ็กเมนต์โดยใช้ริกเก็ตส์ ยูทิลิตี้ อาร์ชช่วยปรับหลักยึดของ
ฟันกรามและกดฟันหน้าล่างทั้ง ๔ ซี่ให้ไปอยู่ในตำแหน่งที่ดีก่อน จึงค่อยยกฟันเขี้ยวข้างลงซึ่งทำได้
ง่ายกว่าและไม่เกิดผลข้างเคียงดังเช่นการใช้ลวดโค้งต่อเนื่อง และทำให้การเคลื่อนฟันในส่วน
ของฟันหลังดำเนินไปได้อย่างอิสระโดยไม่รบกวนกับส่วนอื่น ๆ

๔. บทบาททางสรีรวิทยาของริกเก็ตส์ ยูทิลิตี้ อาร์ชล่าง

การกดฟันหน้าล่างทำให้ฟันหน้าบนและล่างไม่สบกัน ดังนั้นขากรรไกรล่างจึง
พยายามเคลื่อนตัวมาทางด้านหน้าเพื่อหาตำแหน่งที่ทำให้ฟันหน้าสบกันได้ซึ่งจะเป็นประโยชน์สำหรับการ
การสบฟันประเภทที่ ๒ ในขณะที่เดียวกันทำให้การเกร็งตัวของกล้ามเนื้อคางลดลง การทำทอร์ค
ต่อฟันกรามและฟันหน้าล่างตั้งแต่เริ่มรักษาโดยไม่เกี่ยวข้องกับฟันเขี้ยวและฟันกรามน้อย ทำให้
ฟันเขี้ยวและฟันกรามน้อยสามารถขึ้นได้ตามธรรมชาติจากแรงประคองของลิ้นและ
กล้ามเนื้อแก้ม (buccal musculature)

๕. การรักษาให้มากกว่าที่ควรจะเป็น (overcorrection)

ปัญหาที่มักพบหลังจากการกดฟันก็คือการคืนกลับ ดังนั้นวิธีป้องกันการเกิดลักษณะ
ฟันสบลิ้นใหม่ทำได้โดยกดฟันหน้าให้มากกว่าที่ควรจะเป็น การใช้ริกเก็ตส์ ยูทิลิตี้ อาร์ช ทำให้
การแก้ไขโอเวอร์ไบท์ (overbite) และโอเวอร์เจท (overjet) ไม่ขึ้นแก่กัน โดยริกเก็ตส์
ยูทิลิตี้ อาร์ชทำหน้าที่แก้ไขโอเวอร์ไบท์ขณะที่การแก้ไขฟันหลังสามารถกระทำไปพร้อมกันได้ด้วย
เซ็กชันนอล อาร์ช (sectional arch) และถ้าพบว่าในระยะใดของการรักษาซึ่งปรากฏมี
การกระแทกของฟันหน้าอยู่ก็อาจกลับมาใช้ริกเก็ตส์ ยูทิลิตี้ อาร์ชได้อีก

๖. บทบาทในระยะฟันชุดผสม

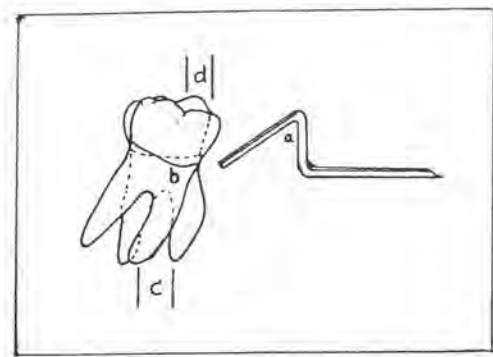
เนื่องจากลักษณะของริกเก็ตส์ ยุกิลิตี อาร์ชมีการตัดลดหักลงทางด้านเหงือก บริเวณฟันเขี้ยวและฟันกรามน้ำนมในระยะฟันชุดผสม จึงช่วยรักษาเนื้อที่เพื่อการขึ้นของฟันเขี้ยว และฟันกรามน้อย

๗. การควบคุมความยาวของโค้งขากรรไกร (arch length)

การใช้ริกเก็ตส์ ยุกิลิตี อาร์ชทำให้สามารถรักษาหรือเปลี่ยนแปลงความยาวของ โค้งขากรรไกรได้ดังนี้

๗.๑ การตั้งฟันกรามล่าง (uprighting lower molar) ในผู้ป่วยที่มีครีฟ

ออฟ สปี ชัน การตัดทียบแบบทางด้านหลังของริกเก็ตส์ ยุกิลิตี อาร์ช ทำให้ฟันกรามล่างตั้งขึ้น ตัวฟันเอียงถอยไปด้านหลัง ทำให้ได้เนื้อที่จากบริเวณที่ฟันตั้งขึ้น (รูปที่ ๑๔)



รูปที่ ๑๔ แสดงผลของการตั้งฟันกรามซี่ที่หนึ่งล่าง (Ricketts และคณะ, 1979)

- a คือ ลักษณะทียบแบบ เบนด์ ต่อฟันกราม
- b คือ จุดศูนย์กลางความต้านทานของฟันกราม
- c คือ ระยะทางที่รากฟันด้านไกลกลางเคลื่อนตัวมาทางด้านหน้า จากผลของทียบแบบ เบนด์
- d คือ ระยะทางที่ตัวฟันเคลื่อนไปทางด้านไกลกลาง ทำให้ได้ความยาวของโค้งขากรรไกรเพิ่มขึ้น

๓.๒ การเคลื่อนฟันหน้าล่างไปทางด้านหน้า (lower incisors advancement) ในกรณีที่ตั้งตำแหน่งของฟันหน้าล่างอยู่ก่อนมาทางด้านใกล้กันมากกว่าปกติ สามารถใช้รีทริคเตอร์ ยูทิลิตี อาร์ชเคลื่อนฟันหน้าออกไปทางด้านหน้า การเคลื่อนฟันไปทางด้านหน้าทำได้มากน้อยเพียงใดขึ้นอยู่กับความหนาของกระดูกบริเวณซิมฟายซิส (Symphysis) และความสวยงามของใบหน้า Ricketts (1979) กล่าวอ้างถึงกฎของ Steiner ที่ว่า ถ้าเคลื่อนฟันหน้าล่างมาทางด้านหน้า ๑ มิลลิเมตรจะทำให้ได้ความยาวของโค้งขากรรไกรเพิ่มขึ้น ๒ มิลลิเมตร ดังนั้นในกรณีที่ต้องการเนื้อที่ในขากรรไกรเพื่อใช้แก้ไขการสบฟันผิดปกติ สามารถนำรีทริคเตอร์ ยูทิลิตี อาร์ชมาใช้ได้

๓.๓ การเคลื่อนฟันหลังไปทางด้านข้าง (lateral expansion) เนื่องจากการใช้รีทริคเตอร์ ยูทิลิตี อาร์ชเคลื่อนเฉพาะฟันหน้าและฟันกราม ในขณะที่ฟันซี่อื่น ๆ ถูกปล่อยให้มีการขึ้นตามปกติ จึงมักพบว่ามีการขยายของขากรรไกรตามธรรมชาติบริเวณฟันหลัง จากกฎของ Ricketts (1979) กล่าวว่า ถ้าฟันในบริเวณฟันเขี้ยวขยายออกไปทางด้านข้าง ๑ มิลลิเมตร จะได้ความยาวของโค้งขากรรไกรเพิ่มขึ้น ๑ มิลลิเมตร ถ้าขยายบริเวณฟันกรามน้อยหรือฟันน้ำนม ๑ มิลลิเมตรจะได้ความยาวของโค้งขากรรไกรเพิ่มขึ้น ๐.๔ มิลลิเมตร และถ้าขยายฟันบริเวณฟันกราม ๑ มิลลิเมตรจะได้ความยาวของโค้งขากรรไกรเพิ่มขึ้น ๑/๓ มิลลิเมตร

๓.๔ การรักษา "อี"สเปส ("E"Space) ซึ่งเป็นช่องว่างที่เกิดขึ้นเมื่อฟันกรามน้ำนมซี่ที่สองหลุดไป เนื่องจากฟันกรามน้อยซี่ที่สองที่ขึ้นแทนที่มีขนาดเล็กกว่าฟันกรามน้ำนม ทำให้ช่องว่างที่เหลือในขากรรไกรล่างจะมีประมาณ ๓-๔ มิลลิเมตร (จากวิธีการของ Nance) การใช้รีทริคเตอร์ ยูทิลิตี อาร์ช จะช่วยรักษาช่องว่างนี้ไว้เพื่อใช้แก้ไขความผิดปกติของฟันซี่อื่น ๆ

ลรีวิทยาและกลไกของรีทริคเตอร์ ยูทิลิตี อาร์ชล่าง

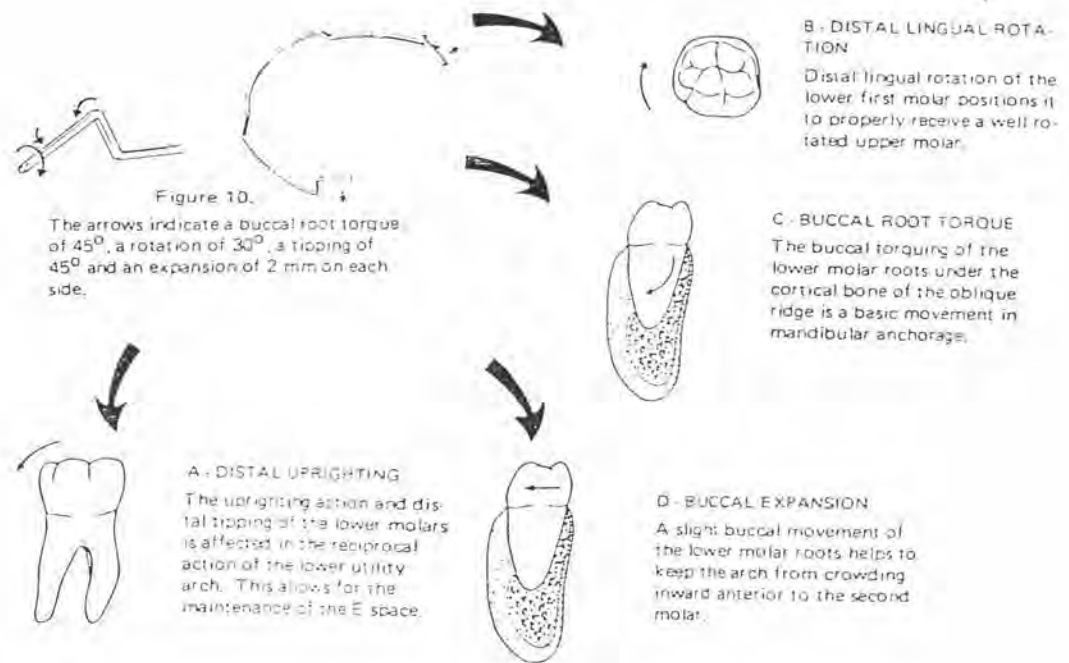
การออกแบบรีทริคเตอร์ ยูทิลิตี อาร์ชให้มีลักษณะพิเศษต่างๆ เช่น ทิปแบค เบนด์ ทอร์ค และโรเตชัน เพื่อประโยชน์ในการเคลื่อนฟันดังนี้

๑. การตัดทิปแบคที่ฟันกรามล่างเป็นมุม $30-45^\circ$ (รูปที่ ๑๔ และ ๑๕)

ทิปแบค เบนด์นี้ทำให้ฟันกรามล่างตั้งตรง โดยตัวฟันเคลื่อนไปทางด้านหลังและ

รากฟันเคลื่อนมาทางด้านหน้า แต่เนื่องจากฟันกรามซี่ที่หนึ่งล่างถูกรองรับด้วยผิวกระดูกที่ด้าน
 ไกล่แก้ม และฟันกรามซี่ที่สองทางด้านไกลกลาง ดังนั้นการขึ้นของฟันกรามซี่ที่หนึ่งตามธรรมชาติ
 จะถูกบังคับด้วยส่วนรองรับทั้งสองให้มีทิศทางการหมุนทางด้านไกลกลางอยู่แล้ว เมื่อมีการตัด
 ทิปแบค เบนต์ ฟันจะตั้งตรงขึ้นในลักษณะที่มีการหมุนทางด้านไกลกลางด้วย ดังนั้นการทำทิปแบค
 เบนต์จึงต้องทำร่วมกับการตัดโรเตชันไปทางด้านไกลกลางทุกครั้ง ในผู้ป่วยที่ถอนฟันและมีการดึง
 ฟันร่วมด้วย การตัดโรเตชันไปทางด้านไกลกลางจะต้องมีมากกว่าในรายที่ไม่ได้ถอนฟัน
 เพื่อป้องกันการหมุนทางด้านไกลกลางของฟันกรามล่าง

๒. การทำทอร์ครากของฟันกรามล่างไปทางด้านไกล่แก้มเป็นมุม $๓๐-๔๕^{\circ}$ (รูปที่ ๑๖)
 การบิดลวดให้เกิดทอร์คเพื่อเคลื่อนรากฟันกรามไปทางด้านไกล่แก้ม ทำให้ตัวฟัน
 เคลื่อนที่ไปทางด้านไกล่แก้มด้วยในลักษณะที่เป็นสัดส่วนกัน เนื่องจากจุดศูนย์กลางของความต้านทาน
 ของฟันตามปกติในระนาบด้านหน้าอยู่ต่ำกว่ารอยต่อของเคลือบฟันและซีเมนตัม (Cemento-enamel
 junction) เพียงเล็กน้อย ถ้าต้องการให้เกิดการเคลื่อนที่เฉพาะรากฟันไปทางด้านไกล่แก้มเพียง
 อย่างเดียวในขณะที่ตัวฟันอยู่ในตำแหน่งค่อนข้างคงที่ อาจกระทำได้โดยการขยายส่วนโค้งของ
 ริคเก็ตส์ สุกิลิตี อาร์ชให้กว้างออกทางด้านข้าง เพื่อช่วยเป็นแรงผลักดันรากฟันไปสัมผัสกับผิว
 กระดูกที่ด้านไกล่แก้มมากขึ้นซึ่งมีผลดีต่อการสร้างหลักยึด ดังนั้นในการตัดทอร์คนี้ต้องทำร่วมกับการ
 การขยายส่วนของลวดออกทางด้านข้างด้วย ตามปกติจะขยายออกข้างละประมาณ ๑ เซ็นติเมตร
 ก่อนใส่ลวดเข้าไปในหลอดโลหะด้านไกล่แก้ม



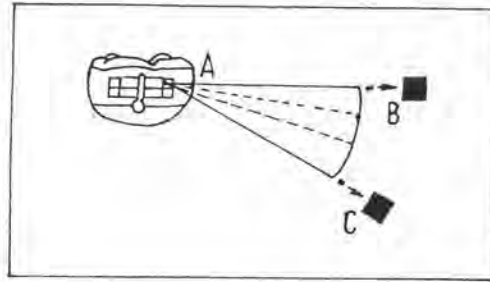
รูปที่ ๑๖ แสดงลักษณะการตัดริกเก็ตส์ ยูทิลิตี อาร์ช ในส่วนฟันกราม (Ricketts และคณะ, 1979)

๓. ระยะความยาวของแขนของริกเก็ตส์ ยูทิลิตี อาร์ช ต่อฟันหน้าล่าง

ความยาวของแขนของลวดริกเก็ตส์ ยูทิลิตี อาร์ช มีผลต่อทอร์กของลวดบริเวณฟันหน้า ขณะที่กดฟันหน้าแรงกดฟันมีทิศทางเคลื่อนลงไปทางรากฟันตามรัศมีความโค้งของลวด โดยมีจุดศูนย์กลางของรัศมีนั้นอยู่ที่ฟันกราม ทำให้ฟันหน้าค้อยๆ ถูกทอร์กให้ตัวฟันเอียงไปทางด้านไกลริมฝีปากจากการบิดตัวของลวดทางด้านหน้า (รูปที่ ๑๓) ผลคือฟันหน้าจะถูกเคลื่อนไปจนรากฟันสัมผัสกับผิวกระดูกทึบของซิมฟายซิส ทำให้ผลในการกดฟันหน้าลดลงหรืออาจไม่เกิดขึ้นเลย และยังเพิ่มการเอียงของตัวฟันหน้าไปทางด้านไกลริมฝีปาก (labial crown tipping)

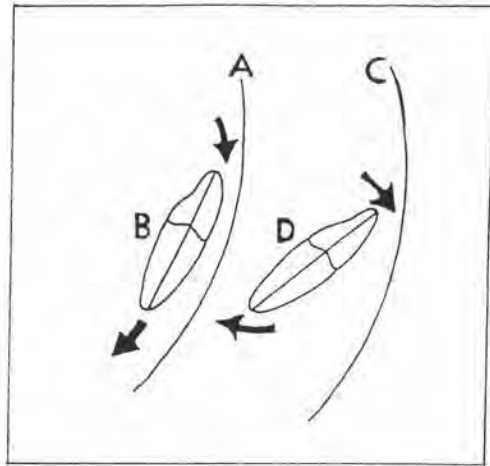
ดังนั้นในการกดฟันหน้าด้วยริกเก็ตส์ ยูทิลิตี อาร์ชจึงต้องสร้างทอร์กในแอนทีเรีย เช็กชั้น ปริมาณของทอร์กมากหรือน้อยขึ้นกับลักษณะแนวแกนของฟันตั้งแต่เริ่มแรกรวมไปถึงความสัมพันธ์ของฟันต่อซิมฟายซิสและรูปหน้า เช่น ในรายที่มีลักษณะใบหน้าเป็นแบบเบรชชี (Brachy facial type) ฟันหน้าล่างมักตั้งตรงอยู่แล้วและระดับฟันไม่อยู่สูงในสันเหงือก การเกิดทอร์กของรากตามปฏิกิริยาดังกล่าวจะมีผลน้อยต่อการกดฟันหน้าล่าง แต่ในผู้ป่วยที่ฟันหน้าล่างเอียงตัวฟันไปทางด้านไกลริมฝีปากมาก ๆ การกดฟันหน้าล่างจะต้องปรับแนวแกน

ของพืชน้ำนั้น โดยการทำทอร์คราฟไปทางด้านใกล้ริมฝีปากประมาณ $๕-๑๐^{\circ}$ เพื่อป้องกัน
 ปลายรากฟันเคลื่อนไปชนกับผิวกระดูกที่ขทางด้านใกล้จึงสามารถกดฟันได้ดี (รูปที่ ๑๔ และ
 รูปที่ ๑๕)



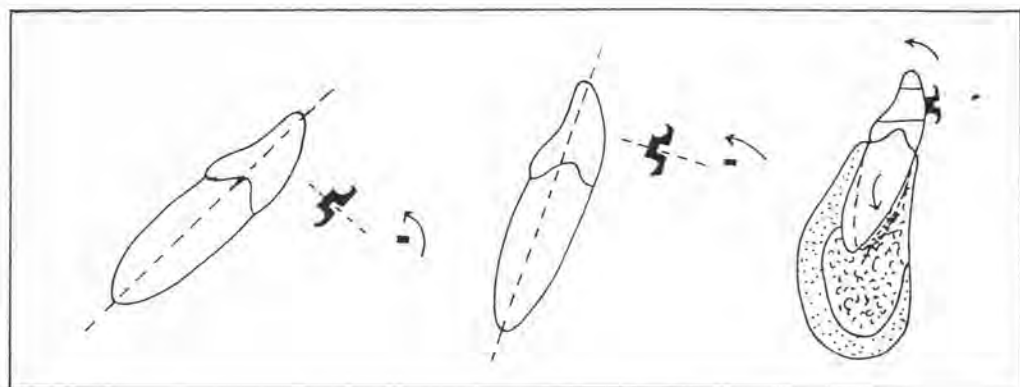
รูปที่ ๑๓ แสดงแขนของลวดริกเก็ตส์ ยูทิลิตี้ อาร์ช ซึ่งเคลื่อนที่เป็นรัศมีของวงกลม
 ตามลักษณะของแรงกดฟันหน้าล่าง (Ricketts และคณะ, 1979)

- A คือ จุดศูนย์กลางการหมุน
- B คือ ลักษณะหน้าตัดของลวดทางด้านหน้าแสดงทอร์คเป็น 0°
 ขนานกับแนวแกนของฟันหน้าล่างซึ่งตั้งตรง
- C คือ ลักษณะของทอร์คซึ่งเปลี่ยนตามการกดฟัน มีผลทำให้ฟันหน้าล่าง
 เอียงตัวฟันไปทางด้านหน้า



- รูปที่ ๑๘ (A) แสดงส่วนโค้งตามแนวการกดพื่นทางด้านหน้าซึ่งเกือบขนานกับแนวแกนพื่นหน้าทำให้ผลการกดพื่นมีประสิทธิภาพกว่า (B)
 (C) คือส่วนโค้งเดียวกันกระทำต่อพื่นหน้าทีเอียงตัวไปทางด้านใกล้ริมฝีปากจะทำให้เกิดการเอียงของพื่นมากขึ้น (D)

(Ricketts และคณะ, 1979)

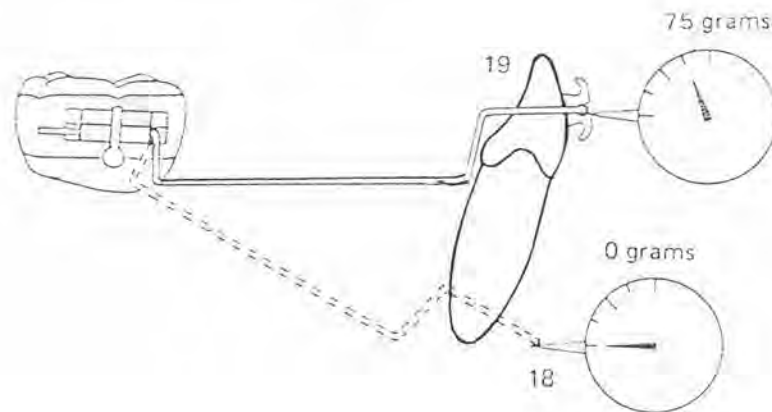


- รูปที่ ๑๙ แสดงผลของทอร์คในแอนทีเรีย เข็มชั้นกระทำต่อพื่นหน้าล่าง

(Ricketts และคณะ, 1979)

๕. ขนาดของแรงกดพื้นหน้าล่าง ๖๐-๘๐ กรัม

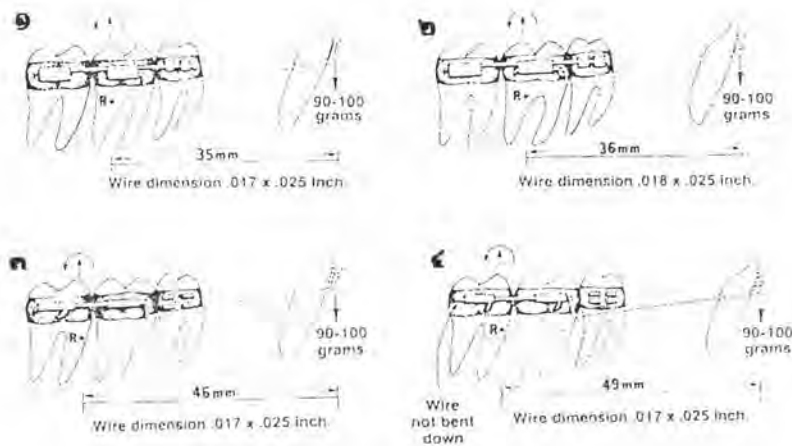
แรงกดพื้นหน้าล่าง เกิดจากริกเก็ตส์ ยูทิลิตี้ อาร์ชซึ่งใช้ลวดเอลิวลอสีฟ้าขนาด ๐.๐๑๖ x ๐.๐๑๖" ดัดให้มีทึบแบค เบนด์ ทอร์ค และโรเตชันของฟันกรามซี่ที่หนึ่งล่างตามที่ Ricketts กำหนด โดยทอร์คบริเวณพื้นหน้าล่างและแขนของสปริงที่ยาวเป็นปัจจัยสำคัญที่ทำให้เกิดแรงขนาดต่ำ ๆ และต่อเนื่อง ซึ่งเป็นแรงที่เหมาะสมในการกดฟันและป้องกันการทำลายของเนื้อเยื่อรองรับฟัน (Ricketts และคณะ, 1979) และยังลดการรบกวนจากแรงบิดเคี้ยวที่อาจทำให้ลวดเปลี่ยนรูปไปจากสภาพเดิมอย่างถาวร ขนาดของแรงที่ Ricketts (1979) แนะนำให้ใช้ในการกดฟันหน้าล่าง ๔ ซี่ คือ แรง ๖๐-๘๐ กรัม โดยวัดที่ระดับของแบรคเก็ตตำแหน่งกึ่งกลางระหว่างแบรคเก็ตของฟันตัดซี่กลาง (รูปที่ ๒๐)



รูปที่ ๒๐ แสดงการวัดขนาดของแรงกดฟันหน้าล่างซึ่งเกิดจากลวดริกเก็ตส์ ยูทิลิตี้ อาร์ช (Ricketts และคณะ, 1979)

งานวิจัยทางคลินิกซึ่งเกี่ยวข้องกับการกดฟันหน้า

Woods (1988) ศึกษากลไกการกดฟันหน้าล่างด้วยริกเก็ตส์ สุกิลิตี อาร์ชในลิงบาบูน เพคเมียซึ่งมีการเจริญเติบโตเต็มที่แล้วจำนวน ๔ ตัว ขนาดของแรงกดฟันที่ใช้คือ ๙๐ และ ๑๐๐ กรัม ซึ่งเป็นขนาดของแรงตามที่ Burstone กำหนดในการกดฟันหน้าบนของมนุษย์ ระยะเวลาการศึกษา ๔ เดือน ฟันหลักยึดที่ใช้ในลิงตัวที่ ๑ และตัวที่ ๒ ได้แก่ ฟันกรามน้อยซี่ที่สอง ฟันกรามซี่ที่หนึ่งและฟันกรามซี่ที่สองยึดรวมกันด้วยลวดเอลจิลอยลีสีฟ้าขนาด ๐.๐๑๖" x ๐.๐๑๖" (รูปที่ ๒๑) หลักยึดสำหรับลิงตัวที่ ๓ และตัวที่ ๔ ได้แก่ ฟันกรามซี่ที่หนึ่งและฟันกรามซี่ที่สอง (รูปที่ ๒๑) ขนาดร่องของแบร็กเก็ตที่ใช้คือ ๐.๐๑๘" สุกิลิตี อาร์ชที่ใช้กับลิงตัวที่ ๑, ๓ และ ๔ ทำจากลวดเอลจิลอยลีสีฟ้าขนาด ๐.๐๑๓" x ๐.๐๒๔" ในลิงตัวที่ ๒ ใช้ลวดขนาด ๐.๐๑๘" x ๐.๐๒๔" โดยเพิ่มลูป (loop) นำไปทำกรรมวิธีผ่านความร้อน (heat treatment) ก่อนนำไปใส่ในหลอดโลหะด้านใกล้แก้มของฟันกรามซี่ที่หนึ่งและฟันกรามซี่ที่สอง โดยพับปลายลวดทางด้านหลังต่อหลอดโลหะด้านใกล้แก้มของฟันกรามซี่ที่สองลงทางด้านเหงือก ยกเว้นลิงตัวที่ ๔ ซึ่งไม่ได้พับปลายลวดลง ผลการศึกษาประเมินจากภาพรังสีเอ็กซเรย์หลอดศีรษะด้านข้าง และแบบจำลองฟันก่อนและหลังการกดฟัน (รูปที่ ๒๒)



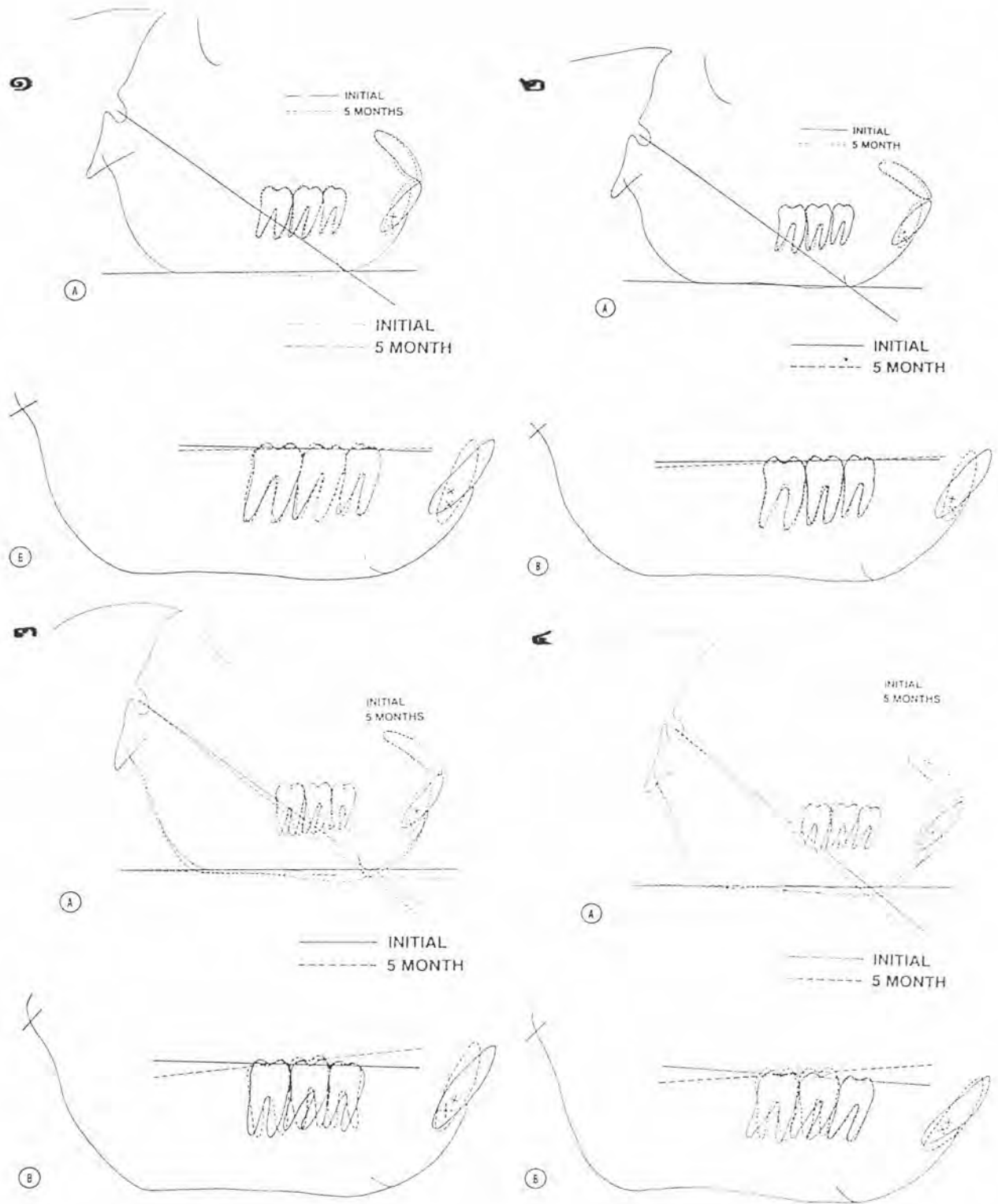
รูปที่ ๒๑ แสดงลักษณะของเครื่องมือที่ใช้ในการกดฟันหน้าล่างในลิงแต่ละตัว

(๑) ลิงตัวที่ ๑ (๒) ลิงตัวที่ ๒ (๓) ลิงตัวที่ ๓ และ (๔) ลิงตัวที่ ๔

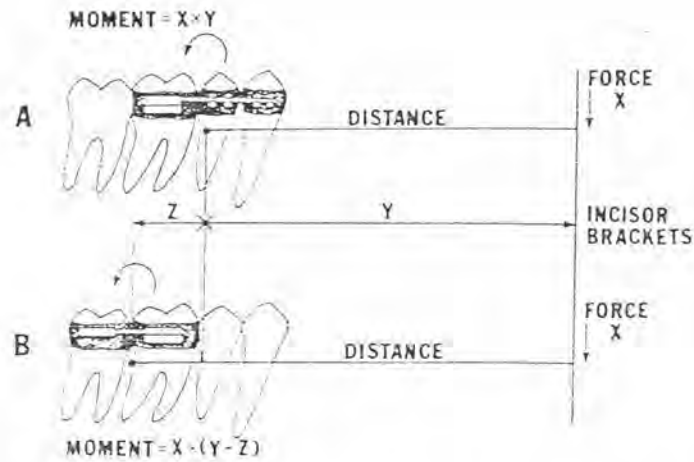
(Woods, 1988)

ผลการศึกษพบว่าพืชน้ำล่างถูกกดลงในแนวตั้ง (เมื่อวัดจากจุดอ้างอิงภายในซึ่งได้แก่จุดศูนย์กลางความต้านทานของพืชน้ำล่าง) ร่วมกับมีการเอียงของตัวพืชน้ำล่างไปทางด้านหลังในสิ่งมีชีวิต แต่ในสิ่งมีชีวิต ๔ นั้นการเอียงของตัวพืชน้ำล่างไปทางด้านหลังมีค่าน้อยมากเมื่อเปรียบเทียบกับที่พบในสิ่งมีชีวิตอื่น มีการละลายของปลายรากพืชน้ำล่างในสิ่งมีชีวิต พบการเอียงของพืชน้ำล่างไปทางด้านหลัง ยกเว้นในสิ่งมีชีวิต ๓ ซึ่งมีการเอียงของพืชน้ำล่างน้อยซึ่งทั้งสองไปทางด้านหลังด้วยแม้ว่าพืชน้ำล่างทั้งสองนี้ไม่ได้ถูกรวมในหลักยึด นอกจากนี้ยังมีการงอกยาวของพืชน้ำล่างในสิ่งมีชีวิต ๓ และ ๔ ซึ่งส่งผลให้ตำแหน่งของขากรรไกรล่างหมุนตามเข็มนาฬิกาไปทางด้านหลังมากขึ้น กล่าวคือมีการสูญเสียหลักยึดเกิดขึ้น

จากการศึกษานี้ Woods สรุปว่าการปรับระดับพืชน้ำโดยใช้วิธีการกดพืชน้ำให้ได้ผลโดยไม่เกิดการงอกยาวของพืชน้ำล่างควรรวมพืชน้ำทั้งหมดที่มีอยู่ให้เป็นหน่วยเดียวกันด้วยหลักการของเช็กแมนเต็ด อาร์ช เทคนิค และแรงกดพืชน้ำควรมีขนาดพอเหมาะ การกดพืชน้ำควรกระทำอย่างช้า ๆ และต่อเนื่อง การเตรียมหลักยึดขึ้นกับวัตถุประสงค์ของการรักษา ถ้าต้องการกดพืชน้ำล่างโดยไม่ทำให้เกิดการหมุนของขากรรไกรล่าง (ตั้งสิ่งมีชีวิต ๑ และ ๒) การเตรียมหลักยึดควรออกแบบให้จุดศูนย์กลางความต้านทานของหลักยึดอยู่ในตำแหน่งหน้าที่สุดเท่าที่จะทำได้เพื่อลดผลของโมเมนต์ซึ่งกระทำต่อพืชน้ำล่าง แต่ถ้าการปรับระดับพืชน้ำนั้นต้องการให้มีการกดพืชน้ำร่วมกับมีการงอกยาวของพืชน้ำล่าง (ตั้งสิ่งมีชีวิต ๓ และ ๔) จุดศูนย์กลางความต้านทานของหลักยึดควรอยู่ในตำแหน่งที่ค่อนข้างไปทางด้านหลังต่อขากรรไกรมากขึ้นเพื่อเพิ่มขนาดของโมเมนต์ โดยขนาดของโมเมนต์สามารถเพิ่มขึ้นได้จากขนาดของแรง หรือจากระยะทางจากจุดศูนย์กลางความต้านทานของหลักยึดไปยังจุดให้แรงกดพืชน้ำ (รูปที่ ๒๓) อย่างไรก็ตามการเพิ่มขนาดของแรงกดพืชน้ำ ทำให้ประสิทธิภาพของการกดพืชน้ำลดลง และส่งผลให้เกิดการทำลายของเนื้อเยื่อรองรับพืชน้ำ ดังนั้นจึงควรใช้การเพิ่มระยะทางแทน การพับปลายลวดกดพืชน้ำทำให้ปลายรากพืชน้ำของพืชน้ำล่างเอียงมาทางด้านหน้าจึงมีผลต่อพืชน้ำล่างทั้งสองซึ่งอยู่ข้างเคียงและมีผลต่อการเอียงตัวของพืชน้ำไปทางด้านหลังเนื่องจากความยาวของลวดกดพืชน้ำถูกควบคุม แต่เมื่อไม่พับปลายลวดกดพืชน้ำ พืชน้ำล่างจะเอียงตัวพืชน้ำไปทางด้านหลัง (ตั้งเช่นสิ่งมีชีวิต ๔) และพืชน้ำล่างมีการเอียงไปทางด้านหลังน้อย



รูปที่ ๒๒ แสดงผลของการกดฟันหน้าล่างในลิงทั้งสี่ตัวตามลำดับจากการซ้อนทับ (superimposition) ภาพรังสีกะโหลกศีรษะด้านข้างก่อนและหลังการกดฟัน (Woods, 1988)



รูปที่ ๒๓ แสดงความแตกต่างของโมเมนต์ที่กระทำต่อฟันหลักยึดซึ่งเกิดจากการเปลี่ยนแปลงตำแหน่งของจุดศูนย์กลางความต้านทานของหลักยึด (Woods, 1988)

นอกจากนั้นการควบคุมหลักยึดในแนวตั้งเป็นปัจจัยหนึ่งที่ควรคำนึงถึง ผู้ป่วยซึ่งมีลักษณะโครงสร้างใบหน้าแบบโดลิโซ (Dolichofacial) มีโอกาสเกิดลักษณะการงอกยาวของฟันหลังได้ง่ายไม่ว่าจะใช้ลวดโค้งต่อเนื่องหรือใช้เช็กเมนเตด อาร์ช ดังนั้นการปรับระดับฟันจึงควรหลีกเลี่ยงกลไกที่จะทำให้เกิดการงอกยาวของฟันหลัง สำหรับลักษณะโครงสร้างใบหน้าแบบมิโซ (Mesofacial) และแบบเบรชี (Brachyfacial) นั้น การหดตัวของกล้ามเนื้อแมสซีเตอร์ (Masseter) และอินเทอร์นัล เทอริกอยด์ (Internal Pterygoid) มีแนวโน้มที่จะดึงฟันเข้าสู่กระดูกเข้าฟันจากทิศทางการดึงของกล้ามเนื้อซึ่งค่อนข้างตั้งฉากกับระนาบคดเคี้ยว ดังนั้นจึงเกิดการงอกยาวได้น้อยกว่า และ Woods ยังกล่าวว่า การศึกษานี้อาจนำไปใช้เป็นแนวทางในการกดฟันกับมนุษย์ที่มีการเจริญเติบโตเต็มที่แล้ว สำหรับในรายที่ยังมีการเจริญเติบโตเป็นการยากที่จะแยกผลของการเจริญเติบโตออกจากผลที่เกิดจากการกดฟันอย่างแท้จริง อย่างไรก็ตามวิธีการกดฟันน่าจะอาศัยหลักการเดียวกัน ในขากรรไกรบนสามารถออกแบบเครื่องมือที่ช่วยในการควบคุมการงอกยาวในแนวตั้งได้โดยการใช้ ไฮ พูล เฮดเกียร์ (High pull Headgear) หรือ เจ-ฮุก เฮดเกียร์ (J-hook Headgear) ร่วมกับการใช้ทรานซ์ พาราทัส อาร์ช

Greig (1983) ศึกษาการแก้ไขฟันสบลึกโดยใช้ยุกิลิตี อาร์ชล่างในผู้ป่วย ๑๑ คน เป็นเพศชาย ๔ คน เพศหญิง ๖ คน อายุเฉลี่ย ๑๒-๑๔ ปี มีลักษณะการสบฟันผิดปกติประเภทที่ ๒ ลักษณะของลวดยุกิลิตี อาร์ชที่ใช้ตัดตามที่ Ricketts กำหนดโดยใช้ลวดเอลจิลอสซี่ฟ้าขนาด ๐.๔ x ๐.๔ มม. ให้แรงกดฟัน ๐.๖-๐.๘ นิวตัน ใช้ลวดยุกิลิตี อาร์ชหลังจากปรับการเรียงตัวของฟันด้วยลวดกลม มี ๑ รายใช้ลวดยุกิลิตี อาร์ชที่มี "ที" ลูป (T-loop) ผลการศึกษาประเมินจากภาพรังสีกะโหลกศีรษะด้านข้างก่อนและหลังการรักษา (๔ เดือนหลังจากใส่ลวดกดฟัน) ปริมาณการกดฟันวัดจากจุด I ซึ่งอยู่บนแนวแกนฟันที่ตำแหน่ง ๒/๓ ของความยาวฟันจากปลายฟันหน้าล่าง (รูปที่ ๒๔)



รูปที่ ๒๔ แสดงจุดและค่าที่ใช้วัดในภาพรังสีกะโหลกศีรษะด้านข้าง

(Greig, 1983)

ผลการศึกษาพบว่า จากการสังเกตในคลินิก ขนาดของโอเวอร์ไบท์มีค่าลดลงเมื่อเปรียบเทียบกับระดับของฟันเขี้ยว ฟันกรามซี่ที่หนึ่งเอียงไปทางด้านไกลกลางและด้านใกล้ลิ้นร่วมกับการขยายของขากรรไกรบริเวณฟันกรามน้อยแต่ความกว้างของขากรรไกรระหว่างฟันกรามซี่ที่หนึ่งซ้ายและขวาไม่เปลี่ยนแปลง ไม่มีการงอกยาวของฟันกรามซี่ที่หนึ่งเมื่อเปรียบเทียบกับระดับของฟันกรามน้อย จากภาพรังสีพบว่า โอเวอร์ไบท์ลดลงเฉลี่ย ๔.๒ มม. การกดฟันที่แท้จริง (เมื่อใช้ I เป็นจุดอ้างอิง) เฉลี่ย ๑.๑ มม. ฟันหน้าเอียงตัวไปทางด้านใกล้ริมฝีปาก ความยาวของไบหน้า

เพิ่มขึ้นซึ่งอาจเป็นผลมาจากการเจริญเติบโต หรือการงอกยาวของฟันกรามซี่ที่หนึ่งจากผลของการรักษา ขนาดของโอเวอร์ไบท์ที่ลดลงมีความสัมพันธ์กับความยาวของไบหน้าที่เพิ่มขึ้นและการงอกยาวของฟันหลัง

Mc. Fadden และคณะ (1989) ศึกษาความสัมพันธ์ระหว่างการกดฟันหน้ากับการละลายของปลายรากฟันในผู้ป่วย ๓๘ ราย อายุเฉลี่ย ๑๓.๑ ปี เพศชายอายุเฉลี่ย ๑๓.๓ ปี เพศหญิงอายุเฉลี่ย ๑๓ ปี ผู้ป่วยทุกรายมีลักษณะฟันสบลึก โดยปลายฟันหน้าบนสบคร่อมปลายฟันหน้าล่างมากกว่า ๔ มม. หรือปลายฟันหน้าล่างสบติดเพดาน ๓ รายมีลักษณะการสบฟันผิดปกติประเภทที่ ๑ ๓๐ ราย มีการสบฟันผิดปกติประเภทที่ ๒ ดิวชัน ๑ และ ๔ รายมีการสบฟันผิดปกติประเภทที่ ๒ ดิวชัน ๒ ระยะเวลาการรักษาเฉลี่ย ๒๘.๘ ± ๓.๔ เดือน ๒๔ ราย (๖๓%) รักษาโดยไม่ถอนฟัน ๑๔ ราย (๓๗%) รักษาโดยถอนฟันร่วมด้วย ผู้ป่วยทุกรายไม่มีประวัติของการเกิดอันตราย (trauma) ต่อฟันหน้ามาก่อน มีฟันหน้าครบทุกซี่ และไม่มีการตกแต่งเปลี่ยนแปลงของปลายฟันหน้าตลอดระยะเวลาการรักษา เทคนิคที่ใช้กดฟันได้แก่ ริกเก็ตส์ สุกัลลิตี อาร์ช ขนาดของแรงกดฟัน ๒๐-๒๔ กรัม/ซี่ ผลการศึกษาประเมินจากภาพรังสีกะโหลกศีรษะด้านข้างและภาพรังสีปลายรากฟัน (periapical radiograph) ก่อนและหลังการรักษา

ผลการศึกษาพบว่ารากฟันหน้าบนสั้นลงโดยเฉลี่ย ๑.๘๔ มม. (๑๓.๒% ของความยาวรากฟันเดิม) และรากฟันหน้าล่างสั้นลงเฉลี่ย ๐.๖๑ มม. (๔.๓% ของความยาวรากฟันเดิม) การละลายของรากฟันมีความสัมพันธ์กับความกว้างของซิมฟายซิสและระยะเวลาในการจัดฟัน แต่ไม่มีความสัมพันธ์กับปริมาณการกดฟันหน้า อายุ เพศ โครงสร้างไบหน้าของผู้ป่วย และการถอนฟัน แต่ในรายที่มีการละลายของรากฟันอย่างรุนแรงอยู่แล้ว พบว่าการละลายของรากฟันมีความสัมพันธ์อย่างมีนัยสำคัญกับการกดฟันหน้าและระยะเวลาในการจัดฟัน ดังนั้นการควบคุมระยะเวลาในการจัดฟันมีความสำคัญอย่างยิ่ง โดยเฉพาะเมื่อกดฟันหน้าบน และผู้ป่วยซึ่งมีแนวโน้มของการเกิดการละลายของรากฟันควรได้รับการดูแลและกระตุ้นเตือนในการดูแลสุขภาพช่องปากระหว่างการจัดฟัน

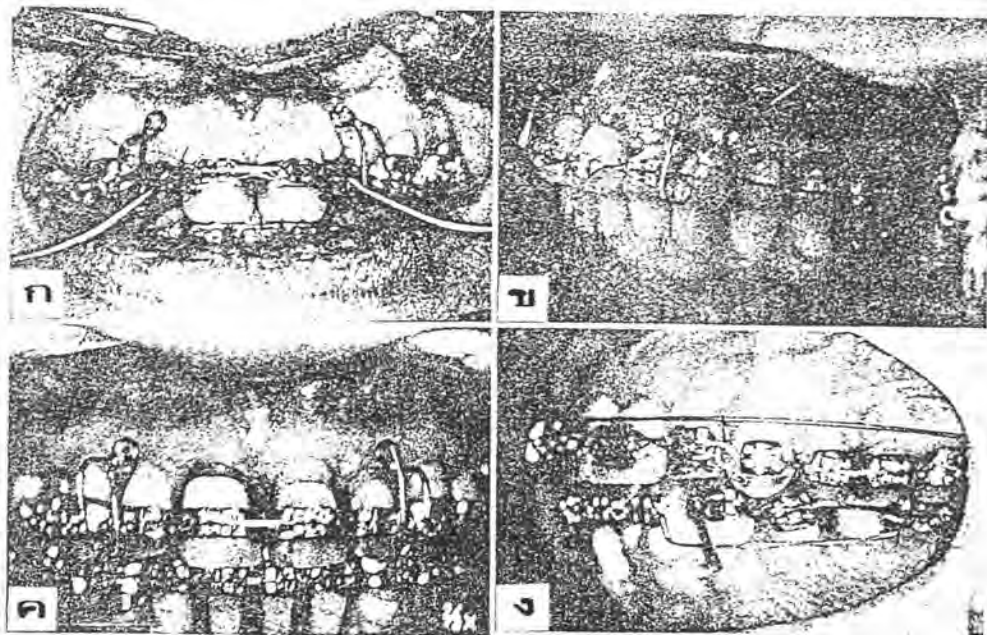
Otto, Anholm และ Engel (1980) ศึกษาเปรียบเทียบการกดฟันในผู้ใหญ่และในเด็กตามลักษณะโครงสร้างใบหน้าในผู้ป่วย ๔๔ ราย (ผู้ใหญ่ ๒๔ ราย อายุเฉลี่ย ๒๓.๐๔ ± ๘.๑๗ ปี เด็ก ๒๐ ราย อายุเฉลี่ย ๑๑.๔๓ ± ๑.๗๖ ปี) ได้รับการรักษาโดยวิธีกดฟันหน้าด้วยริกเก็ตส์ ยูทิลิตี้ อาร์ช ผลการศึกษาประเมินจากภาพรังสีกะโหลกศีรษะด้านข้าง ภาพรังสีพานอราไมก (panoramic radiograph) และภาพรังสีปลายรากฟันก่อนและหลังการรักษา

ผลการศึกษาพบว่า ค่าเฉลี่ยของการกดฟัน (เมื่อวัดจากปลายรากฟัน) ในผู้ใหญ่ ๒.๖๒ มม. ในเด็ก ๒.๐๘ มม. ขนาดของโอเวอร์ไบท์ที่ลดลงเกิดจากการกดฟันหน้าเป็นปัจจัยหลัก แม้จะมีการเอียงของตัวฟันหน้าไปทางด้านไกลริมฝีปากร่วมกับการเพิ่มความยาวของใบหน้าส่วนล่างร่วมด้วยก็ตาม องค์ประกอบทั้งสองไม่มีความสัมพันธ์ต่อขนาดของโอเวอร์ไบท์ที่ลดลง ปริมาณการกดฟันหน้าไม่สัมพันธ์กับอายุของกลุ่มตัวอย่าง จากภาพรังสีปลายรากฟันและภาพรังสีพานอราไมกก่อนและหลังการรักษา พบการเปลี่ยนแปลงของปลายรากฟันในผู้ใหญ่มากกว่าที่พบในเด็ก ลักษณะโครงสร้างใบหน้าไม่มีความสัมพันธ์ต่อปริมาณการกดฟันหน้า

Melsen, Agerbaek และ Markenstam (1989) ศึกษาผลของการกดฟันหน้าในผู้ใหญ่ต่อภาวะการสูญเสียขอบกระดูก (marginal bone) ในผู้ป่วย ๓๐ ราย (ชาย ๔ คน หญิง ๒๔ คน) อายุ ๒๒-๒๔ ปี มีลักษณะการสบฟันผิดปกติซึ่งต้องแก้ไขโดยการกดฟันหน้า ผู้ป่วย ๒๔ รายมีการเคลื่อนที่ของฟันหน้าบนอันเนื่องมาจากการลุกลามของโรคปริทันต์ ๖ รายมีการเคลื่อนที่ของฟันหน้าจากการถอนฟันหลัง ผู้ป่วยส่วนใหญ่มีความยาวของตัวฟันมากกว่าปกติ มีโอเวอร์เจท ๓-๑๓ มม. โอเวอร์ไบท์ ๓-๑๔ มม. ก่อนการจัดฟันผู้ป่วยทุกรายได้รับการรักษาโรคปริทันต์ โดย ๑๔ รายได้รับการทำคัลลยปริทันต์ เพื่อกำจัดร่องลึกปริทันต์ให้เหลือความลึกไม่เกิน ๓ มม. หลังการผ่าตัด ๑ สัปดาห์ทำการติดเครื่องมือจัดฟันชนิดติดแน่นเพื่อรักษาฟันสบลึก ซึ่งแบ่งเป็น ๔ ประเภท ดังนี้

๑. ผู้ป่วย ๑ ราย รักษาโดยใช้เอดซ์ไวส์ เทคนิคร่วมกับ เจ-ฮุก ในการกดฟัน ขนาดของแรงกดข้างละ ๑๐๐ กรัม (รูปที่ ๒๔ ก)

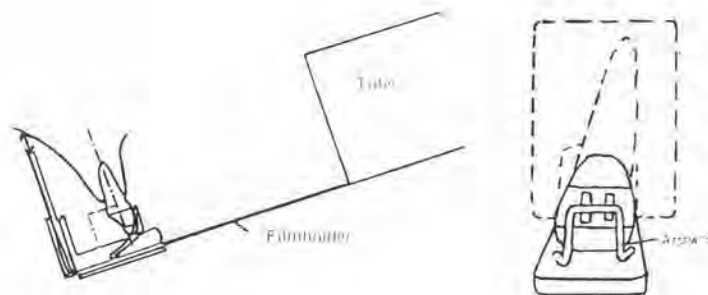
๒. ผู้ป่วย ๔ ราย ได้รับการรักษาด้วยริกเก็ตส์ ยุกิลิตี อาร์ช (๐.๐๑๖"x๐.๐๑๖") ร่วมกับไอ พลุ เอ็ดเจอร์ (รูปที่ ๒๔ ข)
๓. ผู้ป่วย ๓ ราย ได้รับจัดฟันโดยกดฟันด้วยลวดเหล็กกล้าไร้สนิมขนาด ๐.๐๑๗"x ๐.๐๒๕"ที่มีลูป (รูปที่ ๒๔ ค)
๔. ๒๒ รายที่เหลือนรักษาได้รับการจัดฟันใช้อินทรีซีฟ อาร์ช ทั้งฟัน (FuII) และ เช็กเมนต์เต็ด ตามที่ Burstone กำหนด (รูปที่ ๒๔ ง) ให้แรงกด ๑๐-๒๐ กรัม/ซี่ ขึ้นกับ ปริมาณกระดูกรองรับฟัน



รูปที่ ๒๔ แสดงลักษณะของเครื่องมือจัดฟันที่ใช้ (Melsen และคณะ, 1989)

ระหว่างการจัดฟันผู้ป่วยทุกรายได้รับการดูแลและควบคุมสภาวะปริทันต์ตามความจำเป็น ระยะเวลาการจัดฟัน ๖-๑๘ เดือน

ผลการศึกษาประเมินจากหุ่นจำลองแบบฟัน ภาพรังสีกะโหลกศีรษะด้านข้างและภาพรังสี ปลายรากฟันก่อนและหลังรักษา ภาพรังสีปลายรากฟันถ่ายโดยใช้เทคนิคขนาน (parallel tecnic) โดยการยึดฟิล์มตั้งรูปที่ ๒๖

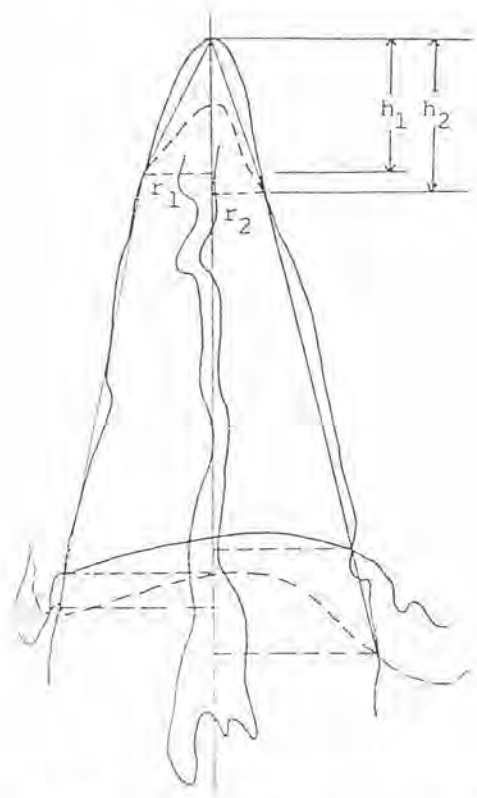


รูปที่ ๒๖ แสดงลักษณะการยึดฟิล์มในการศึกษา เพื่อให้สามารถถ่ายภาพรังสี โดยใช้เทคนิคขนาน (Melsen และคณะ, 1989)

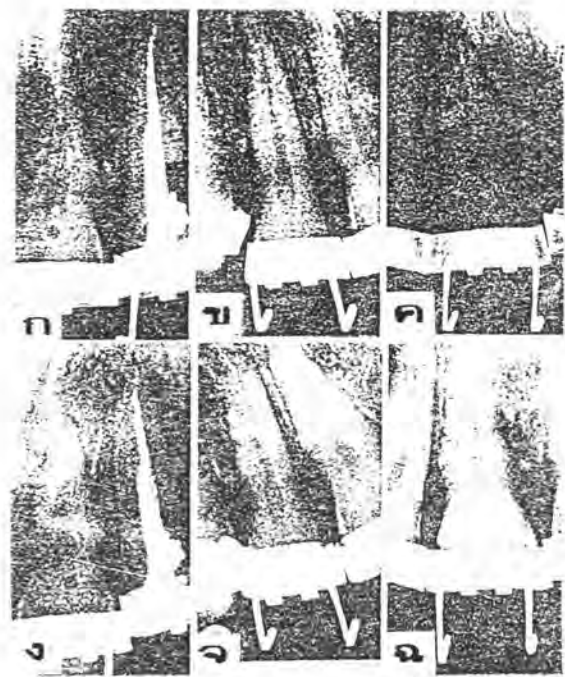
การเปลี่ยนแปลงระดับของขอบกระดูกและความยาวของรากฟันที่ละลายคิดเป็นเปอร์เซ็นต์ เมื่อเปรียบเทียบกับความยาวรากฟันเดิม โดยใช้ภาพรังสีปลายรากฟันขยายขนาด ๘ เท่า วาดภาพโครงสร้างของรากฟันภายในและภายนอก ลวดยึดฟิล์ม ความโค้งของกระดูกเข้าฟันและระดับของขอบกระดูก นำภาพก่อนและหลังรักษามาทำการซ้อนทับ โดยใช้โปรแกรมกราฟและลวดยึดฟิล์ม เป็นตำแหน่งอ้างอิง (รูปที่ ๒๗ และ ๒๘) ผลการวัดฟันต่อความยาวของกระดูกรากฟันประเมินจากพื้นที่ของกระดูกเข้าฟันที่ล้อมรอบรากฟันเป็นรูปกรวย (cone) พื้นที่รากฟันที่เหลือและระดับของขอบกระดูก (รูปที่ ๒๙)

ปริมาณการเคลื่อนที่ของฟันหน้าซี่ที่ขาวที่สุดประเมินจากภาพรังสีขาโลกศิระษะด้านข้าง โดยใช้ระนาบเพดาน (palatal plane) และเส้นที่ลากตั้งฉากกับระนาบเพดานผ่าน P₁m เป็นระนาบอ้างอิงสังเกตการเปลี่ยนแปลงของจุดศูนย์กลางความต้านทาน ปลายรากฟัน และปลายฟันหน้า

สภาพเหงือกประเมินจากหุ่นจำลองแบบฟันโดยวัดความสูงของตัวฟันจากปลายฟันหน้าไปยังขอบเหงือกที่ต่ำที่สุดทุกด้านของฟัน การวัดร่องลึกปริทันต์ก่อนรักษาต้องไม่เกิน ๓ มม.



รูปที่ ๒๓ แสดงการซ้อนทับภาพวาดซึ่งขยายจากภาพรังสีปลายรากฟัน ๘ เท่า (Melsen และคณะ, 1989)



รูปที่ ๒๔ แสดงภาพรังสีปลายรากฟันของพืชน้ำ ๓ ชนิด ก่อนการกดฟัน (ก, ข และ ค) และพืชน้ำเดียวกันหลังการกดฟัน (ง, จ และ ฉ) (Melsen และคณะ, 1989)

Cone

- h = height
- s = length of side
- R = radius of base
- S₁ = surface area

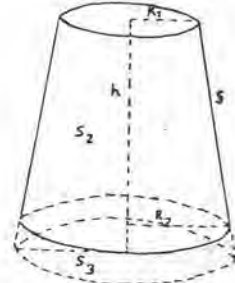
$$S_1 = \pi R^2 + \pi R s = \pi R \sqrt{R^2 + h^2}$$

Truncated cone

- h = height
- s = length of side
- R₁ = radius, upper disc
- R₂ = radius, lower disc
- S₂ = surface area

$$S_2 = \pi R_1^2 + \pi R_2^2 + \pi (R_1 + R_2) s$$

$$S_2 = \pi (R_1^2 + R_2^2 + (R_1 + R_2) \sqrt{(R_2 - R_1)^2 + h^2})$$



รูปที่ ๒๔ แสดงภาพจำลองของลักษณะกรวยที่ใช้ในการคำนวณพื้นที่ของกระดุกเข้าพื้นที่ยึดรากฟัน (Melsen และคณะ, 1989)

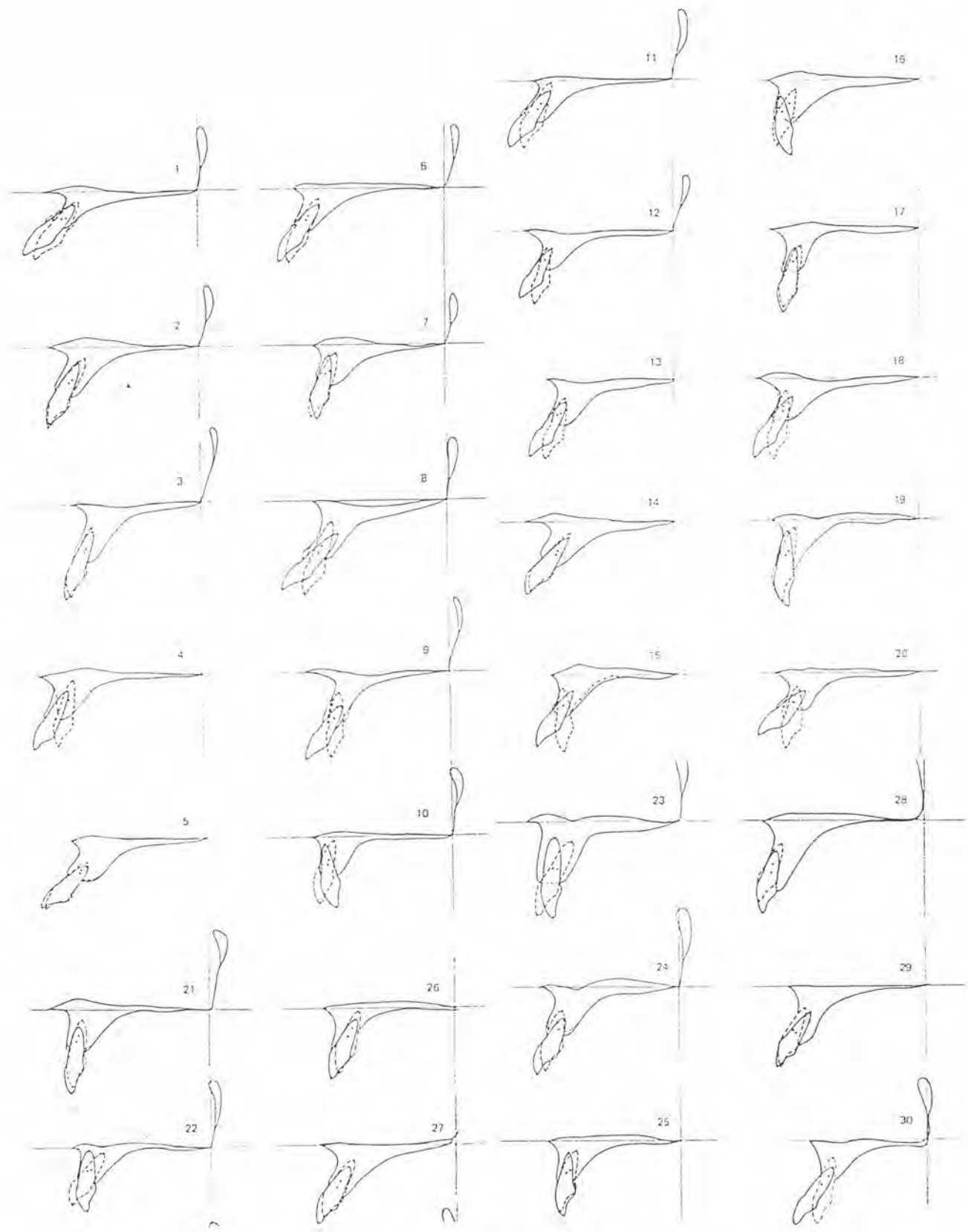
ผลการศึกษานพบว่า การกดฟันหน้าซึ่งแสดงจากการเคลื่อนที่ของฟันหน้าซี่ที่ยาวที่สุดของผู้ป่วยแต่ละราย (รูปที่ ๓๐) มีปริมาณการกดฟันแตกต่างกันมาก เมื่อพิจารณาจากปลายฟัน ปลายรากฟัน และจุดศูนย์กลางความต้านทานของฟันหน้า เนื่องจากการเอียงตัวของฟันจากกลไกในการจัดฟันซึ่งนอกเหนือจากการกดฟันเพียงอย่างเดียว การกดฟันที่มากที่สุดของปลายฟันหน้า คือ ๔.๐ มม. แต่การกดฟันอย่างแท้จริงพิจารณาจากจุดศูนย์กลางความต้านทานมีค่า ๐-๓.๔ มม. และพบการกดฟันที่มากที่สุดโดยมีการละลายของรากฟันน้อยที่สุดเมื่อใช้ อินทราซีฟ อาร์ช เทคนิค

ความยาวของตัวฟันลดลง ๑.๐๘ ± ๑.๑๔ มม. โดยลดมากที่สุดทางด้านใกล้ลิ้น (๓.๘ มม.) และเพิ่มมากที่สุดทางด้านข้างของฟัน (๑.๓ มม.) ระดับของขอบกระดุกอยู่ที่ประมาณรอยต่อระหว่างเคลือบฟันและเคลือบรากฟัน ผู้ป่วยทุกรายมีการละลายของรากฟัน ๑-๓ มม. กระดุกยึดรากฟันเพิ่มขึ้นโดยเฉลี่ย ๖-๘% (ต่ำที่สุด -๑๔% และมากที่สุด +๒๒%) เมื่อคำนวณจากพื้นที่ของผนังกระดุกเข้าฟัน

การสูญเสียของกระดูกพบน้อยที่สุดเกือบเป็น ๐ ในผู้ป่วย ๓ รายที่มีการสับสนผิดปกติประเภทที่ ๒ ดิวชัน ๒ ซึ่งมีการถอนฟันกรามน้อยไปมากกว่าหนึ่งซี่ในขากรรไกรล่าง เกือบทุกรายมีความลึกของร่องลึกปริทันต์ประมาณ ๓ มม. หรือมากกว่าเล็กน้อย โดยเฉพาะทางด้านไกลลิ้นของฟันหน้าซึ่งพบว่ามี ๔ รายเป็นร่องลึกปริทันต์เทียม (pseudopocket) เนื่องจากการเอียงของฟันหน้าไปทางด้านไกลลิ้น แต่ไม่มีฟันซี่ใดต้องได้รับการรักษาทางด้านปริทันต์ (periodontal therapy)

จากการศึกษานี้ และคณะสรุปว่า การกดฟันเกิดขึ้นได้อย่างเด่นชัดเมื่อ

๑. ใช้แรงขนาดต่ำ (๔-๑๔ กรัม/ซี่) ร่วมกับการให้แนวแรงผ่านหรือเกือบผ่านจุดศูนย์กลางความต้านทานของส่วนฟันหน้าที่ต้องการกด
๒. สภาพเหงือกของผู้ป่วยต้องมีสุขภาพดี
๓. ไม่มีการรบกวนจาก perioral function



รูปที่ ๓๐ แสดงภาพรังสีแสดงลักษณะฟันซึ่งถูกกดในผู้ป่วยแต่ละราย
 (Melsen และคณะ, 1989)

เมื่อพิจารณาจากลักษณะ ชนิด และขนาดของลวดกดฟัน และระบบแรงที่เกิดขึ้นจาก ลวดกดฟันทั้งสองเทคนิคแล้ว ผลการกดฟันหน้าด้วยลวดกดฟันทั้งสองประเภทควรแตกต่างกัน แต่ การศึกษาที่ผ่านมาถึงผลของลวดกดฟันหน้านั้น เป็นการศึกษาทางคลินิกซึ่งเกิดจากลวดกดฟันแต่ละ ประเภท (Greig, 1983; Mc Fadden และคณะ, 1989; Otto และคณะ, 1980) งานวิจัย ทางคลินิกในเชิงเปรียบเทียบผลระหว่างลวดกดฟันทั้งสองประเภท มีเพียงการศึกษาของ Meisen และคณะ (1989) ซึ่งแม้จะพบว่าประสิทธิภาพของลวดกดฟันทั้งสองประเภทแตกต่างกัน แต่จำนวน กลุ่มตัวอย่างจำกัด ความแตกต่างที่พบอาจเนื่องมาจาก องค์ประกอบอื่นที่เกี่ยวข้องกับการเคลื่อน ฟัน นอกเหนือจากลักษณะของลวดกดฟันที่แตกต่างกัน ได้แก่ การตอบสนองทางชีวภาพของผู้ป่วย อายุและการเจริญเติบโตของผู้ป่วย ลักษณะการสบฟันผิดปกติก่อนเริ่มรักษา ระยะเวลาการรักษา พฤติกรรมและความร่วมมือของผู้ป่วย อันเป็นตัวแปรที่ไม่สามารถควบคุมได้

ดังนั้นการวิจัยเชิงทดลองเพื่อวิเคราะห์การกระจายของความเค้นที่เกิดจากลวดกดฟัน หน้าทั้งสองประเภทโดยวิธีไฟโตอีลาสติก จึงเป็นกระบวนการหนึ่งซึ่งสามารถแสดงให้เห็นผลแตกต่าง ของลวดกดฟันหน้าทั้งสองแบบ โดยควบคุมตัวแปรที่เกี่ยวข้องกับผู้ป่วยได้

หลักการพื้นฐานของโฟโตอีลาสติก เทคนิค

(Basic Principle of Photoelastic Technique)

โฟโตอีลาสติกเทคนิค คือ วิธีการวิเคราะห์ความเค้นและความเครียด (strain) ที่เกิดขึ้นในสาร โดยอาศัยคุณสมบัติทางฟิสิกส์ของสารที่เรียกว่า ไบรีฟรินเจนท์ หรือ คับเบิลรีแฟรกชัน ซึ่งสามารถทำให้แสงลำแสงเดี่ยวเมื่อเดินทางผ่านสารขณะที่มีความเค้นอยู่ภายใน แยกเป็นสองลำแสง และเดินทางด้วยความเร็วต่างกัน โดยมีทิศทางเคลื่อนที่ตามแนวแกนของความเค้นหลัก (principle stress) ภายในวัตถุ นิยมใช้ในการวิเคราะห์การกระจายของความเค้นที่เกิดขึ้นในวัตถุที่ไม่มีรูปทรงเรขาคณิต หรือมีโครงสร้างซับซ้อน ลักษณะของความเค้นศึกษาจากภาพถ่ายจากเครื่องมือโพลาไรสโคป

โฟโตอีลาสติกเทคนิคเป็นที่นิยมใช้กันอย่างกว้างขวางในการออกแบบเครื่องจักรกลทางวิศวกรรมและอุตสาหกรรม (Dixon, 1959) สำหรับในวงการทันตแพทย์นั้น Zak เป็นคนแรกที่นำวิธีการโฟโตอีลาสติกมาใช้ศึกษาการกระจายของความเค้นที่เกิดจากกลไกการจัดฟัน (orthodontic mechanics) ในกระดูกเข้าฟันในปี ค.ศ. 1935 ต่อมาได้มีนักวิจัยอีกหลายท่าน (Caputo, Chaconas และ Hayashi, 1974; Caputo และ Standlee, 1987; Craig, El-Ebrashi และ Farah, 1973; Standlee และคณะ, 1972; Wylie และ Caputo, 1982) ใช้วิธีการโฟโตอีลาสติกทดสอบและวิเคราะห์การกระจายของความเค้นที่เกิดจากเครื่องมือทางทันตกรรมเพื่อปรับปรุงคุณภาพและออกแบบเครื่องมือตลอดจนวัสดุที่ใช้ในทางทันตกรรมให้ดีขึ้น นอกจากนี้ยังนำมาใช้ศึกษาลักษณะการกระจายของความเค้นที่เกิดขึ้นในโครงสร้างทางชีวภาพ (biologic structure) เช่น กระดูกขากรรไกรบน-ล่าง รวมไปถึงอวัยวะในช่องปากต่อการตอบสนองของแรงจากการบดเคี้ยว (masticatory force) และแรงดึงของกล้ามเนื้อรอบช่องปาก เพื่อศึกษาการเจริญเติบโตของกระดูกขากรรไกร (Alexandridis, Thanos และ Caputo, 1981; Mehta และคณะ, 1976; Ralph และ Caputo, 1975) ในประเทศไทย ทศนีย์ นันทราภิวัฒน์ (2529) ใช้วิธีการทางโฟโตอีลาสติกศึกษาการกระจายของความเค้นที่เกิดจากเครื่องมือเคลื่อนฟันเขี้ยวชนิดต่างๆ ซึ่งการศึกษาในแบบจำลองที่สร้างขึ้นจากสารไบรีฟรินเจนท์

สามารถแสดงให้เห็นลักษณะการกระจายของความเค้นที่เกิดขึ้นจากแรงของเครื่องมือชนิดต่างๆ ได้อย่างชัดเจน

หลักการของโฟโตอีลาสติก ประกอบด้วย

๑. แบบจำลอง
๒. วิธีการวิเคราะห์
๓. เครื่องมือโพลาริโคป

๑. แบบจำลอง : การวิเคราะห์ความเค้นด้วยวิธีการโฟโตอีลาสติกจะต้องใช้แบบจำลองซึ่งสร้างขึ้นจากสารไบรฟรินเจนต์ตามลักษณะของโครงสร้างที่ต้องการศึกษา (Caputo และ Standlee, 1987) สารไบรฟรินเจนต์ที่นิยมใช้ได้แก่ บาคีไลต์ (Bakelite) เซลลูลอยด์ เจลลาติน (Celluloid gelatin) หรือ เรซินสังเคราะห์ (Synthetic resin) คุณสมบัติของสารมีลักษณะโปร่งใส (transparent) ยืดหยุ่นได้ (elasticity) และมีคุณสมบัติสมลักษณะทางแสง (isotropic material) กล่าวคือ เมื่อปราศจากความเค้นหรือความเครียดจะมีคุณสมบัติเหมือนกันทุกทิศทางในเนื้อสาร เมื่อได้รับแรงจะเปลี่ยนเป็นอสมลักษณะทางแสง (anisotropic material) ซึ่งมีคุณสมบัติขึ้นกับทิศทางของแรงและของแสงที่ผ่านในเนื้อสาร เมื่อมองผ่านเครื่องมือโพลาริโคปซึ่งเป็นแหล่งกำเนิดของแสงโพลาไรซ์ (polarized light) จะพบการตอบสนองต่อแสงโดยคลื่นแสงเคลื่อนที่ตามแนวแกนของความเค้นหลักภายในวัตถุ การเปลี่ยนแปลงของแสงโพลาไรซ์จากความเค้นภายในกลายเป็นสองลำแสงซึ่งเดินทางด้วยความเร็วต่างกันทำให้เกิดคลื่นแสงที่มีช่วงคลื่นต่างกัน ความเร็วของแสงขึ้นกับขนาดของความเค้น และผลของความเค้นปรากฏเป็นแถบสี (array of colored patterns) ในสาร ถ้าใช้แสงสีขาวจะให้รูปแบบของความเค้นเป็นแถบสีทุกสีของสเปกตรัม (spectrum) แต่ถ้าใช้แสงสีเดียวที่มีความถี่และความยาวคลื่นแสงเดียวกัน (monochromatic light) จะให้รูปแบบของความเค้นเป็นแถบมืดและแถบสว่างแทน โดยที่รูปแบบของแถบไม่เปลี่ยนแปลงทั้งปริมาณและคุณภาพ (Caputo และ Standlee, 1987) คลื่นแสงที่มีช่วงคลื่นต่างกัน 180 องศาเมื่อรวมกันจะหักล้างกันปรากฏเป็นแถบมืด ส่วนคลื่นแสงที่มีช่วงคลื่นเหมือนกันจะเสริมกันปรากฏเป็นแถบสว่าง แถบมืดและแถบสว่าง

ซึ่งมีลำดับที่เท่ากันหรือตรงกันเรียกว่า ไอโซโครมาติก ฟรินจส์ (isochromatic fringes) ลำดับที่ของแถบสว่างและแถบมืดจะสัมพันธ์กับความเค้นที่กระทำต่อวัตถุ (รูปที่ ๓๑)



รูปที่ ๓๑ รูปแบบของความเค้นภายในแบบจำลองฟันซึ่งได้รับแรงกระทำในบริเวณต่างๆ วิเคราะห์โดยวิธีไฟโตอีลาสติก (Caputo และ Standlee, 1987)

หลักการสร้างแบบจำลอง (Caputo และ Standlee, 1987) พิจารณาดังต่อไปนี้

๑) แบบจำลองที่ใช้ศึกษาจะต้องสัมพันธ์ และสามารถจำลองลักษณะและรูปทรงของสิ่งที่ต้องการวิเคราะห์ ซึ่งอาจเป็นแบบจำลองที่มีโครงสร้างสองมิติ (รูปที่ ๓๒) หรือสามมิติ (รูปที่ ๓๓) ขนาดของแบบจำลองนั้นอาจมีขนาดเล็กกว่า ใหญ่กว่า หรือเท่ากับของจริงขึ้นกับความเหมาะสมและความสามารถในการอ้างอิงไปใช้ได้

๒) การสร้างแบบจำลองจะต้องเลียนแบบคุณสมบัติเชิงกลของระบบที่ต้องการศึกษา แม้ว่าในบางกรณีอาจไม่สามารถจำลองคุณสมบัติของโครงสร้างที่ต้องการศึกษาได้ทั้งหมด นั่นคือ จะต้องพิจารณาคุณสมบัติที่เหมาะสมที่สุดมาจัดกระทำให้ตรงกับปัญหาที่ต้องการวิเคราะห์มากที่สุด

๓) แบบจำลองที่สร้างขึ้นจะต้องสัมพันธ์กับวิธีการวิเคราะห์

๒. วิธีการวิเคราะห์ความเค้นโดยวิธีไฟโตอิลาสติกเทคนิค (Caputo และ Standlee, 1987) แบ่งเป็น

๒.๑ การวิเคราะห์แบบสองมิติ (Two dimensional stress analysis) เป็นการวิเคราะห์ในแบบจำลองที่สร้างด้วยสารไบรฟรินเจนต์ซึ่งมีรูปทรงสองมิติ โดยศึกษาในระนาบเดียว (one plane) เช่น ระนาบด้านข้าง (sagittal plane) ของฟัน แรงที่กระทำต่อแบบจำลองจะต้องอยู่ในระนาบเดียวกับแบบจำลองนั้น

ข้อดีของวิธีนี้คือ การสร้างแบบจำลองไม่ยุ่งยากและสามารถให้แรงกระทำในสภาวะที่แตกต่างกันในแต่ละครั้งต่อแบบจำลองเดียวกันโดยนำมาทดสอบในสภาวะใหม่ได้ เนื่องจากไม่มีกระบวนการตัดแบบจำลองออกเป็นชิ้น ๆ ทำให้นำแบบจำลองเดิมมาใช้ใหม่ได้เมื่อทำให้ปราศจากความเค้นหลงเหลือก่อนนำมาทดสอบในครั้งต่อไป

ข้อเสียเปรียบของวิธีนี้คือ ไม่สามารถเลียนแบบลักษณะตามธรรมชาติของโครงสร้างที่มีรูปทรงสามมิติได้อย่างสมบูรณ์ เนื่องจากเป็นการทดสอบในระนาบเดียว

๒.๒ การวิเคราะห์แบบสามมิติ (Three dimensional stress analysis) เป็นการศึกษาความเค้นในแบบจำลองที่สร้างจากสารไบรฟรินเจนต์ซึ่งมีลักษณะรูปทรงสามมิติ วิธีนี้หลังจากให้แรงกระทำต่อแบบจำลองตามสภาวะที่ต้องการศึกษาแล้ว จะต้องนำแบบจำลองไปผ่านกระบวนการให้ความร้อนในเตาอบ โดยค่อย ๆ เพิ่มอุณหภูมิขึ้นทีละน้อยจนถึงอุณหภูมิวิกฤต (critical temperature) ซึ่งระดับอุณหภูมินี้ขึ้นกับชนิดของสารไบรฟรินเจนต์แล้วทั้งแบบจำลองไว้ที่อุณหภูมิวิกฤตนี้ประมาณ 5 ชั่วโมง จึงค่อย ๆ ลดอุณหภูมิในเตาอบลงทีละน้อยจนถึงอุณหภูมิห้องเพื่อรักษาสภาพความเค้นไว้ วิธีการดังกล่าวนี้เรียกว่า สเตรส ฟรีซซิง โพรเซส (stress freezing process) จากนั้นจึงนำแบบจำลองไปตัดเป็นแผ่นบาง ๆ (sliding process) ด้วยเครื่องตัด แล้วจึงนำแต่ละชิ้นไปวิเคราะห์ความเค้น

ข้อดีของวิธีนี้คือ สามารถวิเคราะห์ความเค้นในโครงสร้างที่มีรูปทรงสามมิติได้อย่างสมบูรณ์

ข้อด้อยของวิธีนี้คือ กระบวนการวิเคราะห์ยุ่งยาก เสียค่าใช้จ่ายสูง และใช้เวลานาน เนื่องจากการทดสอบแต่ละครั้งจะต้องใช้แบบจำลองใหม่ต่อสภาวะการให้แรงกระทำครั้งหนึ่งๆ

หรือต่อเครื่องมือแต่ละชิ้น ซึ่งจะต้องควบคุมตัวแปรในเรื่องความแตกต่างของการหล่อแบบจำลองแต่ละชุด และกระบวนการตัดแบบจำลองต้องถูกต้องและมีความเที่ยงตรงสูง

๒.๓ การวิเคราะห์แบบกึ่งสามมิติ (Quasi three dimensional stress analysis) เป็นการศึกษาในแบบจำลองที่เคลือบด้วยสารไบรฟรินเจนท์ เรียกว่า โฟโตอีลาสติกโคทติ้ง เทคนิค (Photoelastic coating technique) แปลผลโดยวิธีการสะท้อนแสงจากผิวแบบจำลองโดยใช้แบบจำลองสองมิติหรือสามมิติ ศึกษาความเค้นจากแบบจำลองโดยไม่เกี่ยวข้องกับความหนาของแบบจำลอง

ข้อดีของวิธีนี้คือ การวิเคราะห์ความเค้นไม่ต้องใช้กระบวนการสเตรส ฟรีซซิง และการตัดแบบจำลองเช่นเดียวกับการวิเคราะห์แบบสามมิติ และการวิเคราะห์ไม่ถูกจำกัดเฉพาะความเค้นในระนาบเดียว เช่น การวิเคราะห์แบบสองมิติ

ข้อด้อยของวิธีนี้คือ ไม่สามารถวิเคราะห์การกระจายของความเค้นในแบบจำลองสามมิติได้อย่างแท้จริง เพราะเป็นการวิเคราะห์ความเค้นที่ผิวเท่านั้น

๒.๔ การวิเคราะห์ร่วม (Combined technique application) กล่าวคือ ใช้วิธีการแบบที่ ๑, ๒ หรือ ๓ ร่วมกัน โดยอาจวิเคราะห์โครงสร้างที่ซับซ้อนด้วยแบบจำลองสองมิติก่อน และอาศัยการทดสอบของแบบจำลองสองมิติเป็นพื้นฐานเพื่อนำไปสู่การวิเคราะห์สามมิติในส่วนที่ต้องการศึกษาเพื่อให้ได้ข้อมูลที่ชัดเจนต่อไป



รูปที่ ๓๒ แบบจำลองสารไบรฟรินเจนท์รูปทรงสองมิติ (Caputo และคณะ, 1974)



รูปที่ ๓๓ แบบจำลองสารไบรฟรินเจนท์รูปทรงสามมิติ

(Caputo และ Standlee, 1987)

๓. เครื่องมือโพลาไรสโคป : การวิเคราะห์ความเค้นด้วยวิธีโฟโตอ็อลาสติกใช้แสงในช่วงความถี่ที่ตาสามารถมองเห็นได้ (visible light) โดยใช้เครื่องมือโพลาไรสโคปซึ่งอาศัยกระบวนการโพลาไรเซชันและการรบกวน (interference) ของแสงที่เป็นคลื่นตามขวางมาอธิบาย ซึ่งส่วนของเครื่องมือประกอบด้วย

๓.๑ แหล่งกำเนิดแสง เป็นแสงสีขาวซึ่งทำให้เกิดแถบสีของสเปกตรัม หรือแสงสีเดียวที่มีความถี่และความยาวคลื่นเดียวกัน ซึ่งทำให้เกิดแถบมืดและแถบสว่างแสดงการกระจายของความเค้นที่เกิดขึ้น

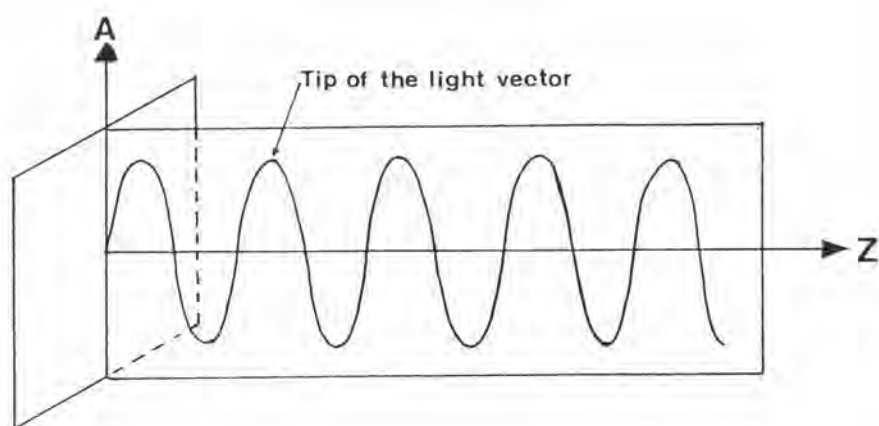
๓.๒ โพลาไรเซอร์ (Polarizer) ทำหน้าที่กรองแสงจากแหล่งกำเนิดให้เหลือเพียงระนาบเดียวก่อนผ่านไปยังแบบจำลอง เรียกว่า แสงโพลาไรซ์ ซึ่งมีระนาบการสั่นสะเทือนอยู่ในระนาบเดียว ในทางโฟโตอ็อลาสติกสามารถจำแนกได้เป็น ๓ ประเภท คือ

๓.๒.๑ แสงโพลาไรซ์ระนาบเดียว (Plane polarized light) เกิดจากการบังคับให้เวกเตอร์ (vector) ของการสั่นของคลื่นแสงอยู่ในระนาบเดียวตลอดเวลา เรียกว่า ระนาบของโพลาไรเซชัน (รูปที่ ๓๔)

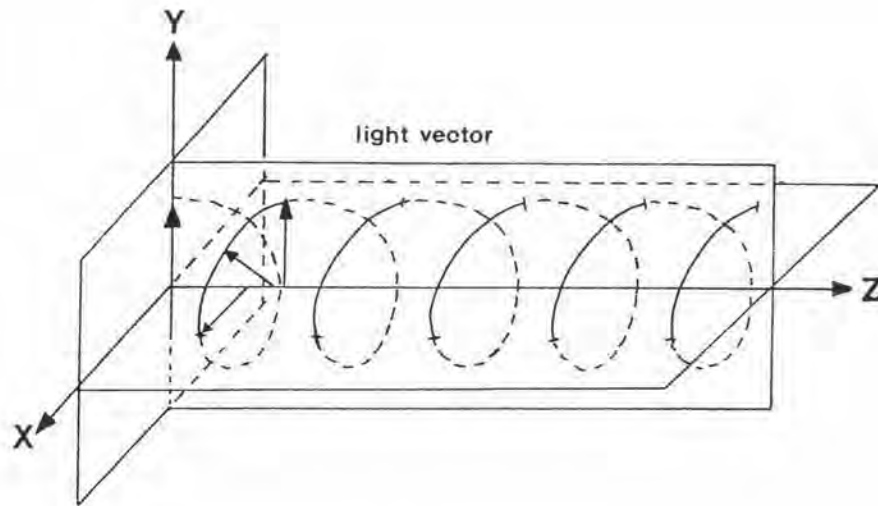
๓.๒.๒ แสงโพลาไรซ์เกลียววงกลม (Circular polarized light) เกิดขึ้นเมื่อระนาบการสั่นเปลี่ยนไปตามตำแหน่งที่จุดยอดของคลื่นแสงเคลื่อนที่เป็นเกลียวของวงกลมไปรอบแกน z (รูปที่ ๓๕)

๓.๒.๓ แสงโพลาไรซ์เกลียววงรี (Elliptically polarized light) จุดยอดของคลื่นแสงเคลื่อนที่เป็นเกลียวแบบวงรีไปรอบแกน z

ในทางปฏิบัติสามารถเปลี่ยนแสงโพลาไรซ์ระนาบเดียวเป็นแบบเกลียววงกลมหรือเกลียววงรี หรือเปลี่ยนจากแบบเกลียวเป็นแบบระนาบเดียวได้โดยใช้ควอเตอร์ เวฟ เพลต (Quarter wave plates)



รูปที่ ๓๔ แสดงแสงโพลาไรซ์ระนาบเดียว จุดยอดของคลื่นแสงเคลื่อนที่ไปตามระนาบของโพลาไรเซชัน



รูปที่ ๓๔ แสดงแสงโพลาไรซ์เกลียววงกลม

๓.๓ ควอเตอร์ เวฟ เพลต คือ แผ่นกรองแสงที่สามารถแยกระนาบการสั่น
 สะเทือนของลำแสงออกเป็น ๒ ทิศทางทำมุมตั้งฉากต่อกันและลำแสงทั้งสองมีความเร็วไม่เท่ากัน
 ในเครื่องมือโพลาไรสโคประนาบเดียว (Plane polariscope) จะไม่มีควอเตอร์ เวฟ เพลต
 แต่ในเครื่องมือเซอร์คิวลาร์ โพลาไรสโคป (Circular Polariscopes) จะมีควอเตอร์ เวฟ
 เพลต ๒ แผ่น ทำหน้าที่ดังต่อไปนี้ (รูปที่ ๓๖)

แผ่นที่ ๑ วางต่อจากโพลาไรเซอร์ ทำหน้าที่เปลี่ยนแสงโพลาไรซ์ระนาบ
 เดียวเป็นแสงโพลาไรซ์เกลียววงกลม เมื่อแสงผ่านแบบจำลองที่มีคุณสมบัติเป็นสารไบรีฟรินเจนท์
 ซึ่งได้รับแรงกระทำ จะหักเหแสงเป็นสองลำแสงตั้งฉากกันตามแนวความเค้นหลักในวัตถุ แต่ละ
 ลำแสงเคลื่อนที่ด้วยความเร็วตามแกนที่เรียกว่า ฟาส แอกซิส (fast axis) และ สโลว์ แอกซิส
 (slow axis)

แผ่นที่ ๒ ทำหน้าที่เปลี่ยนแสงโพลาไรซ์เกลียววงกลมกลับไปเป็นแสง
 โพลาไรซ์ระนาบเดียวใหม่ โดยวางต่อจากแบบจำลองให้ฟาส แอกซิสขนานกับ สโลว์ แอกซิสของ
 ควอเตอร์ เวฟ เพลตแผ่นแรก

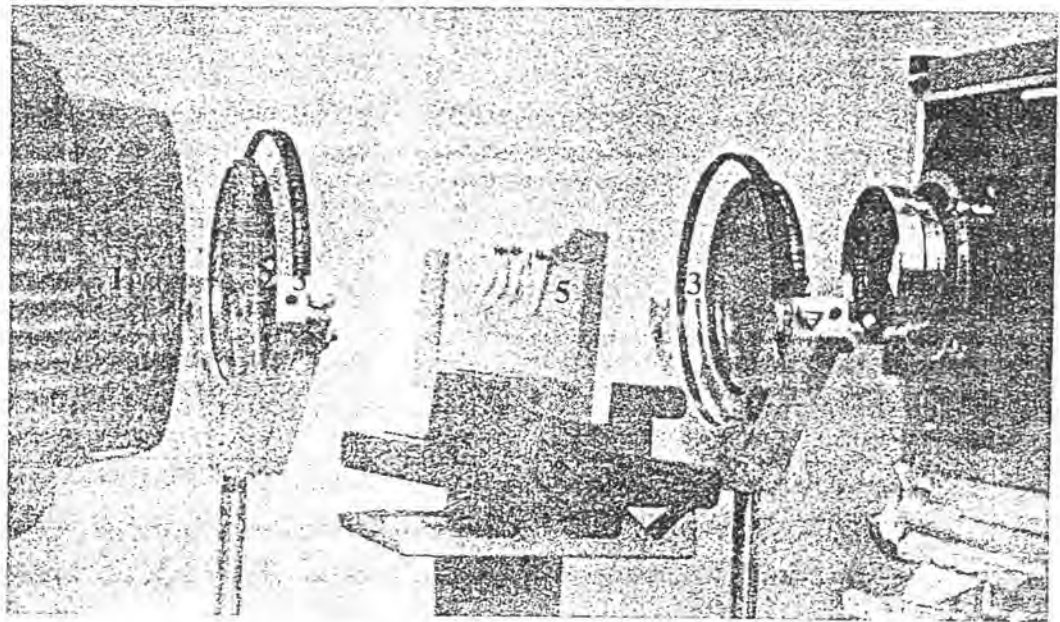
๓.๕ อะนาไลเซอร์ (Analyzer) เป็นโพลาไรเซอร์ แผ่นที่ ๒ วางต่อด้านหลังของควอเตอร์ เวฟ เพลต แผ่นที่ ๒ การเปลี่ยนมุมของอะนาไลเซอร์ให้ขนานหรือตั้งฉากกับโพลาไรเซอร์แผ่นแรกและกับควอเตอร์ เวฟ เพลต จะให้ภาพเป็นภาพสว่างหรือภาพมืดก็ได้

การทดลองแบบภาพมืดกระทำได้โดยการจัดเครื่องมือให้ควอเตอร์ เวฟ เพลตทั้งสองแผ่นวางตั้งฉากซึ่งกันและกัน ขณะเดียวกับโพลาไรเซอร์และอะนาไลเซอร์วางตั้งฉากซึ่งกันและกันด้วย (รูปที่ ๓๓) หรือจัดให้ควอเตอร์ เวฟ เพลตทั้งสองแผ่นวางขนานกันขณะที่โพลาไรเซอร์และอะนาไลเซอร์วางขนานกันด้วย เมื่อยังไม่วางแบบจำลองลงไปจะปรากฏเป็นภาพมืดหมด แต่เมื่อนำแบบจำลองที่มีแรงกระทำมาวางระหว่างเครื่องมือชนิดนี้ จะปรากฏเป็นแถบมืดแสดงปริมาณความเค้นที่เกิดขึ้น แถบมืดอันดับแรกที่ปรากฏ เรียกว่า ซีโร ออร์เดอร์ เมื่อความเค้นเพิ่มขึ้นจะมีแถบมืดเพิ่มขึ้นเป็นลำดับที่ ๑, ๒, ๓, (n) ตามลำดับ

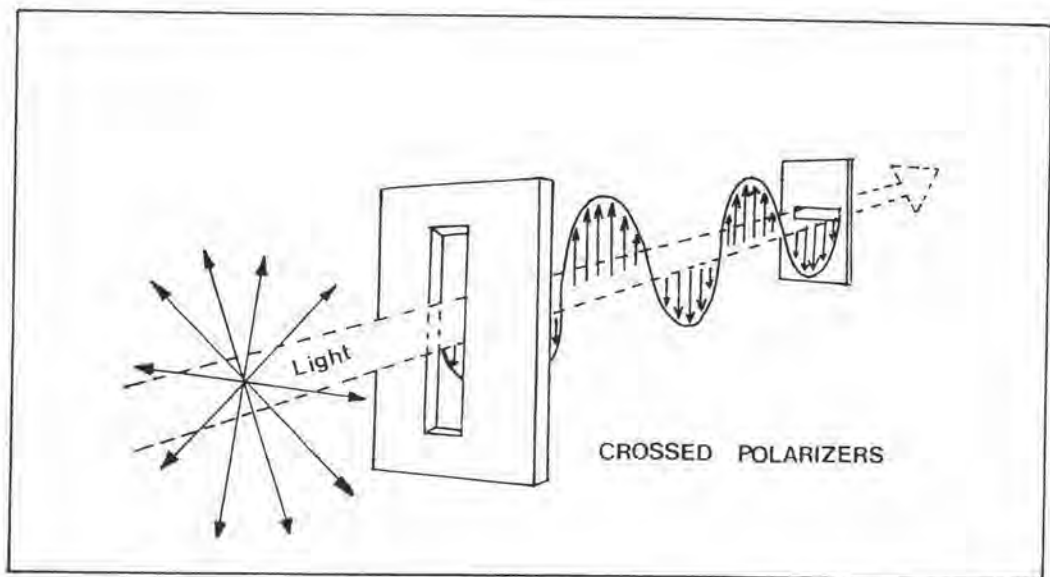
สำหรับภาพสว่างทำได้โดยจัดควอเตอร์ เวฟ เพลต ทั้งสองแผ่นตั้งฉากซึ่งกันและกัน ขณะเดียวกับที่โพลาไรเซอร์และอะนาไลเซอร์วางขนานกัน (รูปที่ ๓๔) หรือจัดให้ควอเตอร์ เวฟ เพลตทั้งสองแผ่นวางขนานกันขณะเดียวกับที่โพลาไรเซอร์และอะนาไลเซอร์วางตั้งฉากกัน เมื่อยังไม่วางแบบจำลองลงไปจะปรากฏเป็นภาพสว่างหมด เมื่อนำแบบจำลองที่มีแรงกระทำมาวางระหว่างเครื่องมือนี้จะปรากฏแถบสว่างแสดงปริมาณความเค้นเช่นกัน แถบมืดในภาพมืดจะปรากฏเป็นแถบสว่างในภาพสว่างที่ตำแหน่งเดียวกัน และส่วนของแถบมืดในภาพสว่างจะปรากฏเป็นแถบสว่างในภาพมืด แถบมืดอันดับแรกเป็นฮาล์ฟ ออร์เดอร์ ต่อมาเป็น ๓/๒, ๕/๒, (n+๑/๒) ตามลำดับ

วิธีการวิเคราะห์โดยการนำแบบจำลองที่ต้องการศึกษาไปทดสอบภายใต้แสงโพลาไรซ์ และวิเคราะห์จากภาพถ่ายของความเค้นในแบบจำลองซึ่งบันทึกไว้ การแปลผลพิจารณาดังต่อไปนี้

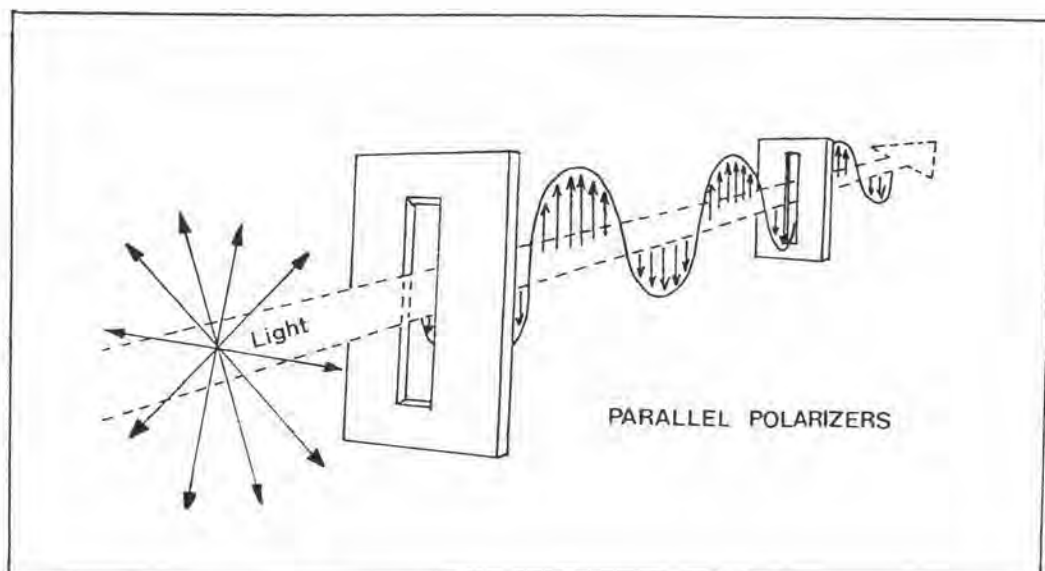
๑. จำนวนของแถบที่ปรากฏจะเป็นสัดส่วนโดยตรงกับแรงที่กระทำ กล่าวคือ ถ้าจำนวนแถบมีมากกว่าแสดงถึงความรุนแรง (intensity) ของความเค้นที่สูงกว่า
๒. ความถี่ของไอโซโครมาติก ฟรินจ์s ถ้ายิ่งเข้าใกล้กันมากเท่าไร แสดงว่าความเข้มของความเค้น (stress concentration) ยิ่งมีค่าสูง



รูปที่ ๓๖ แสดงการจัดเครื่องมือเซอร์คิวลาร์ โพลาไรสโคป (Caputo และคณะ, 1974)



รูปที่ ๓๗ แสดงการจัดเครื่องมือโพลาไรสโคปแบบระนาบเดียวโดยวางโพลาไรเซอร์ตั้งฉากซึ่งกันและกันให้ภาพมืด (Caputo และ Standlee, 1987)



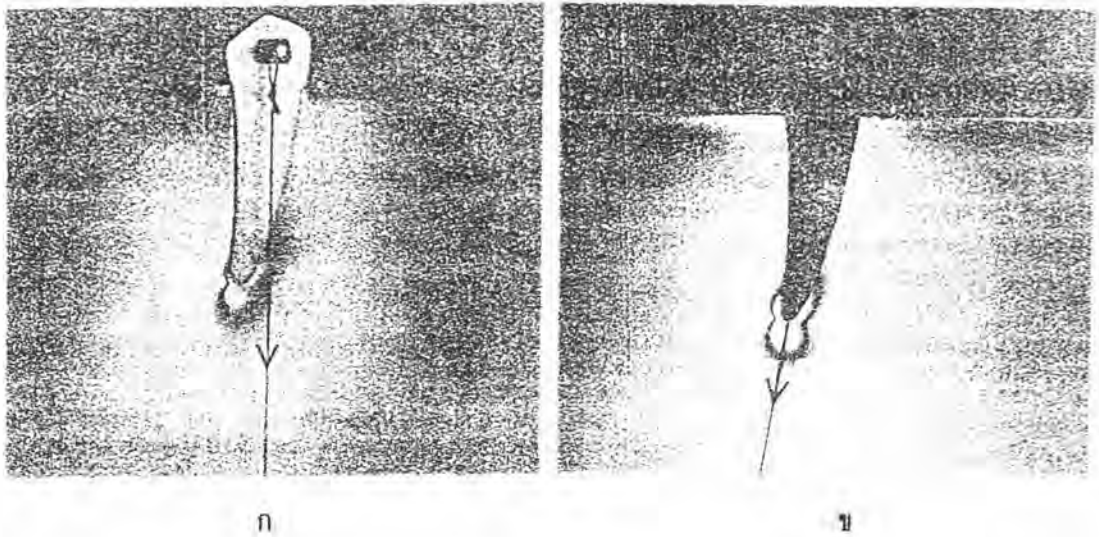
รูปที่ ๓๘ แสดงการจัดเครื่องมือโพลาไรสโคปแบบขนานเดียวโดยวางโพลาไรเซอร์ขนานกันให้ภาพสว่าง (Caputo และ Standlee, 1987)

ประโยชน์ของการวิเคราะห์ความเค้นโดยวิธีโฟโตอีลาสติก

- ๑ สามารถวัดความเค้นในแบบจำลองของโครงสร้างที่มีลักษณะซับซ้อนและมีรูปทรงไม่แน่นอนได้ เช่น โครงสร้างของอวัยวะต่างๆในช่องปาก กะโหลกศีรษะ เครื่องมือทางทันตกรรม ตลอดจนวัสดุบูรณะฟัน เช่น ฟันครอบ หรือ เครื่องจักรกลซึ่งใช้ในทางวิศวกรรมและอุตสาหกรรม
 ๒. สามารถวัดความเค้นซึ่งเกิดจากการให้แรงกระทำต่อโครงสร้างที่สนใจ เช่น แรงจากเครื่องมือจัดฟันต่อกระดูกเข้าฟัน แรงจากการบดเคี้ยวต่อวัสดุบูรณะฟันหรือใช้ในทางอุตสาหกรรมเพื่อวิเคราะห์ตำแหน่งและความเข้มของความเค้นซึ่งสามารถบ่งชี้จุดอ่อนของโครงสร้างนั้น อันเป็นสาเหตุให้เกิดความล้มเหลวจากการแตกหัก (brittle failure) ของวัตถุนั้น
 ๓. สามารถวัดขนาดและตำแหน่งของความเค้นในแบบจำลองทั้งหมดได้
- การวิเคราะห์ความเค้นโดยวิธีโฟโตอีลาสติก จะกระทำสำเร็จต้องประกอบไปด้วย การสร้างแบบจำลองที่เหมาะสม วิธีการวิเคราะห์ และเครื่องมือโพลาไรสโคปที่สอดคล้องและสัมพันธ์กัน

งานวิจัยทางไฟโตอิลาสติกซึ่งเกี่ยวข้องกับการกดฟัน

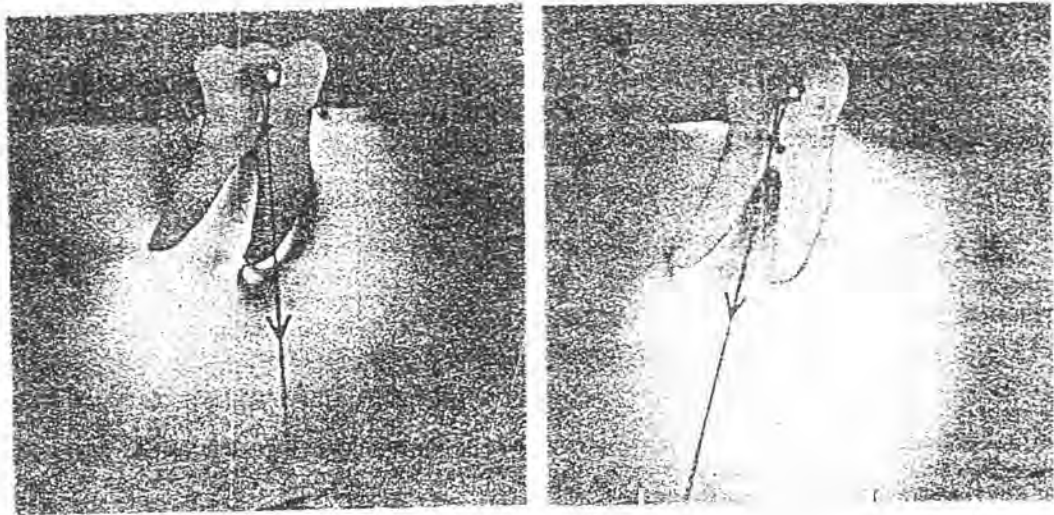
ไฟโตอิลาสติก เทคนิคได้เข้ามามีบทบาทต่องานวิจัยทางทันตแพทย์หลายสาขาโดยแสดงให้เห็นผลของแรงที่กระทำต่อโครงสร้างที่ต้องการศึกษาในลักษณะของรูปแบบความเค้น เช่น วิเคราะห์ผลของแรงที่เกิดจากการทำงานของเครื่องมือทางทันตกรรม ประเมินประสิทธิภาพของวัสดุบูรณะฟันประเภทต่าง ๆ ในการต้านทานต่อแรงบิดเคี้ยวและความสามารถในการกระจายแรงที่กระทำต่อวัสดุบูรณะหรือตัวฟันถ้าทอดไปยังรากฟัน เนื้อเยื่อปริทันต์และกระดูกรองรับฟัน สำหรับในทางทันตกรรมจัดฟันมีการนำไฟโตอิลาสติก เทคนิคมาใช้ศึกษาผลของแรงที่เกิดขึ้นจากเครื่องมือจัดฟัน เช่น สปริงดึงฟัน เข็มชนิดต่าง ๆ (Caputo, Chaconas และ Hayashi, 1974; ทัศนีย์, 2529) การใช้ยางดึงระหว่างขากรรไกร (de Alba y Levy, Caputo และ Chaconas, 1979) แต่ยังไม่ปรากฏรายงานการวิจัยใดที่นำไฟโตอิลาสติก เทคนิค ไปใช้ศึกษาผลของแรงกดที่กระทำต่อฟันหน้า งานวิจัยที่ศึกษาเกี่ยวกับการกดฟันโดยวิธีไฟโตอิลาสติก ได้แก่ การศึกษาของ Hayashi, Chaconas และ Caputo (1975) ซึ่งศึกษาการตอบสนองของกระดูกรองรับฟันต่อแรงที่ใช้เคลื่อนฟันทางทันตกรรม โดยอาศัยหลักการที่ว่าเมื่อมีแรงกระทำต่อตัวฟันจะเกิดการตอบสนองของเซลล์ภายในอวัยวะรองรับฟัน โดยการสร้างแบบจำลองฟันเขี้ยวและฟันกรามฝังตัวอยู่ในสารประกอบยูรีเทน นำมาทดสอบโดยการให้แรงกระทำในทิศทางต่าง ๆ ซึ่งในที่นี้จะกล่าวถึงเฉพาะการศึกษาเกี่ยวกับการให้แรงกดกระทำต่อฟันเขี้ยวและฟันกราม ผลการศึกษาพบว่า ในกรณีของฟันรากเดี่ยว ได้แก่ฟันเขี้ยว เมื่อให้แรงกดกระทำต่อฟันในทิศทางตั้งฉากกับยอดกระดูกเข้าฟัน (alveolar crest) แต่ไม่ผ่านแนวแกนของฟัน (รูปที่ ๓๕ ก) จะเกิดความเค้นอัดบริเวณยอดกระดูกเข้าฟันด้านใกล้กลาง และพบมากที่สุดที่บริเวณประมาณ $1/3$ ของปลายรากฟัน โดยเฉพาะทางด้านใกล้กลาง แต่เมื่อให้แรงกดกระทำต่อฟันเขี้ยวตามแนวแกนของฟัน พบความเค้นอัดบริเวณปลายรากฟันสูงและมีการกระจายของความเค้นสมมาตรกัน (symmetry) ทั้งสองข้างของปลายรากฟัน (รูปที่ ๓๕ ข)



รูปที่ ๓๕ แสดงภาพถ่ายโฟโตมิสโคปซึ่งเกิดจากการให้แรงกระทำต่อพื้เขียว
ในแบบจำลอง (Hayashi และคณะ, 1975)

- ก แรงกดซึ่งมีทิศทางตั้งฉากกับยอดกระดูกเข้าพื้โดยไม่ผ่านแนวแกนพื้
ข แรงกดซึ่งมีทิศทางผ่านแนวแกนของพื้เขียว

สำหรับกรณีของพื้สองรากได้แก่ พื้กรามเมื่อให้แรงกดกระทำต่อพื้ในทิศทางตั้งฉาก
กับยอดกระดูกเข้าพื้โดยไม่ผ่านแนวแกนพื้ (รูปที่ ๔๐ ก) พบลักษณะของความเค้นอัดทางด้าน
ใกล้กลางของรากพื้ใกล้กลาง (mesial root) บริเวณ ๑/๒ ของปลายรากพื้และมีความเข้ม
ของความเค้นสูงมากบริเวณปลายรากพื้ด้านใกล้กลาง ส่วนบริเวณยอดกระดูกเข้าพื้พบความเค้น
อัดเพียงเล็กน้อย และพบลักษณะของความเค้นดึงที่บริเวณยอดกระดูกเข้าพื้ด้านใกล้กลาง เมื่อ
ปรับให้ทิศทางของแรงกดกระทำผ่านแนวแกนของพื้กราม (รูปที่ ๔๐ข) พบลักษณะการกระจาย
ของความเค้นแตกต่างจากลักษณะอื่น กล่าวคือ มีการกระจายของความเค้นอัดไปตามด้านใกล้กลาง
และด้านใกล้กลางของรากพื้ทั้งสองเท่า ๆ กัน ความเข้มของความเค้นเพียงเล็กน้อยที่บริเวณ
ปลายรากพื้ แต่พบความเค้นอัดสูงบริเวณระหว่างรากพื้ทั้งสอง



ก

ข

รูปที่ ๔๐ แสดงภาพถ่ายไฟโตอิลาสติกซึ่งเกิดจากการให้แรงกระทำต่อฟิเบอร์
 ในแบบจำลอง (ก) แรงกดซึ่งมีทิศทางตั้งฉากกับยอดกระดูกเข้าฟิเบอร์
 แต่ไม่ผ่านแนวแกนฟิเบอร์ (ข) แรงกดซึ่งมีทิศทางไปตามแนวแกนของ
 ฟิเบอร์ (Hayashi และคณะ, 1975)

ผลการศึกษานี้ Hayashi และคณะสรุปว่า แรงกดฟิเบอร์ที่มีทิศทางตั้งฉากกับยอดกระดูก
 เข้าฟิเบอร์โดยไม่ผ่านแนวแกนฟิเบอร์ พบการเคลื่อนที่แบบทวิฟังก์ชันในฟิเบอร์เขียวและฟิเบอร์
 มีความเค้นอัดมากบริเวณยอดกระดูกเข้าฟิเบอร์ด้านใกล้กลางและที่ปลายรากใกล้กลาง สำหรับ
 แรงกดที่กระทำไปตามแนวแกนฟิเบอร์ ลักษณะการกระจายของความเค้นเท่าเทียมกันและเป็น
 เรขียบไปตามรากฟิเบอร์และมีลักษณะของการกดฟิเบอร์อย่างแท้จริง และเมื่อเปรียบเทียบระหว่าง
 ฟิเบอร์เขียวและฟิเบอร์เมื่อใช้แรงขนาดเท่ากัน พบว่าความเข้มของความเค้นที่ปลายรากฟิเบอร์เขียว
 มีค่ามากกว่าที่ปลายรากฟิเบอร์เนื่องจากพื้นที่ผิวรากฟิเบอร์มีมากกว่าจึงกระจายแรงได้ดีกว่า
 นอกจากนี้เขายังสรุปว่า การกระจายของความเค้นมีความสัมพันธ์โดยตรงกับทิศทางของแรง
 และลักษณะรูปร่างของรากฟิเบอร์ ปริมาณความเค้นขึ้นกับขนาดของแรงและพื้นที่ผิวรากฟิเบอร์

จากหลักการและงานวิจัยที่ผ่านมาแสดงให้เห็นว่า การแก้ไขลักษณะฟันสบลึกให้ได้ผลดี โดยปราศจากผลข้างเคียงที่ไม่พึงประสงค์นั้น จะต้องใช้วิธีการกดฟันหน้าอย่างแท้จริง โดยไม่ทำให้เกิดการงอกยาวของฟันหลัง หรือการเคลื่อนตัวของฟันหน้าไปทางด้านใกล้ริมฝีปาก และปราศจากการสูญเสียของหลักยึด ซึ่งทั้ง Burstone และ Ricketts ได้กล่าวไว้ว่า ลวดกดฟันของเขาต่างมีคุณสมบัติและให้ประสิทธิภาพในการกดฟันเช่นเดียวกัน แต่จากงานวิจัยทางคลินิกที่ผ่านมาพบว่า ให้ข้อสรุปเกี่ยวกับผลของลวดกดฟันหน้าตามแบบของ Burstone และ Ricketts แตกต่างกัน ทั้งนี้อาจเนื่องมาจากองค์ประกอบอื่น ๆ ที่เกี่ยวข้องกับผู้ป่วย นอกเหนือจากลักษณะที่แตกต่างกันของลวดกดฟันหน้าทั้งสองประเภท การใช้โฟโตอีลาสติก เทคนิค ในการวิเคราะห์การกระจายของความเค้นที่เกิดจากลวดกดฟันหน้านี้ จึงเป็นกระบวนการหนึ่งซึ่งสามารถควบคุมตัวแปรที่เกี่ยวข้องกับผู้ป่วยได้